

RHIC実験のまとめと

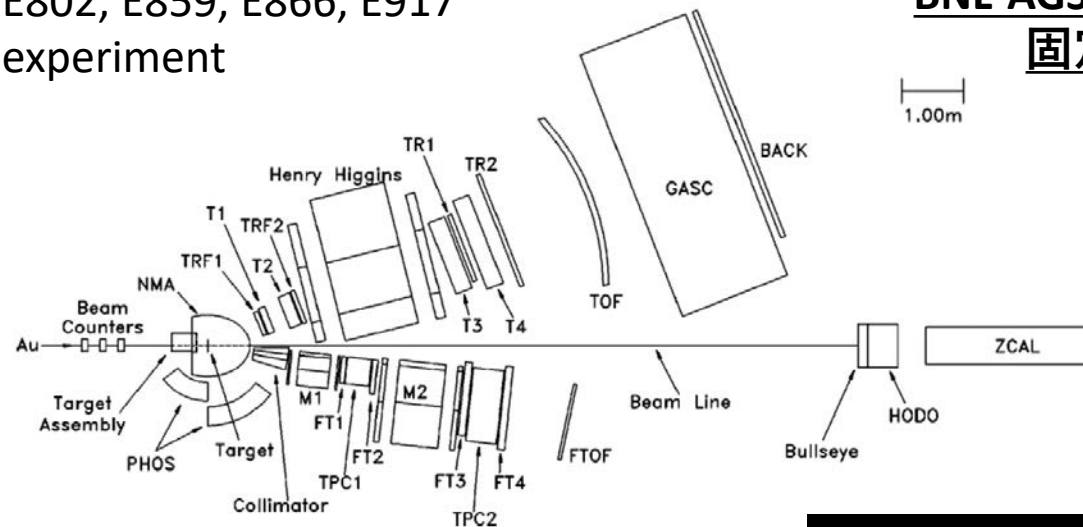
**RHIC衝突ビーム・エネルギー走査実験による
AGS・SPSエネルギー領域での再挑戦**

～高密度領域のQCD相図の理解へ向けて～

AGS・SPS実験のおさらい
RHIC実験のまとめ
RHIC-BES実験の結果
次へのステップ

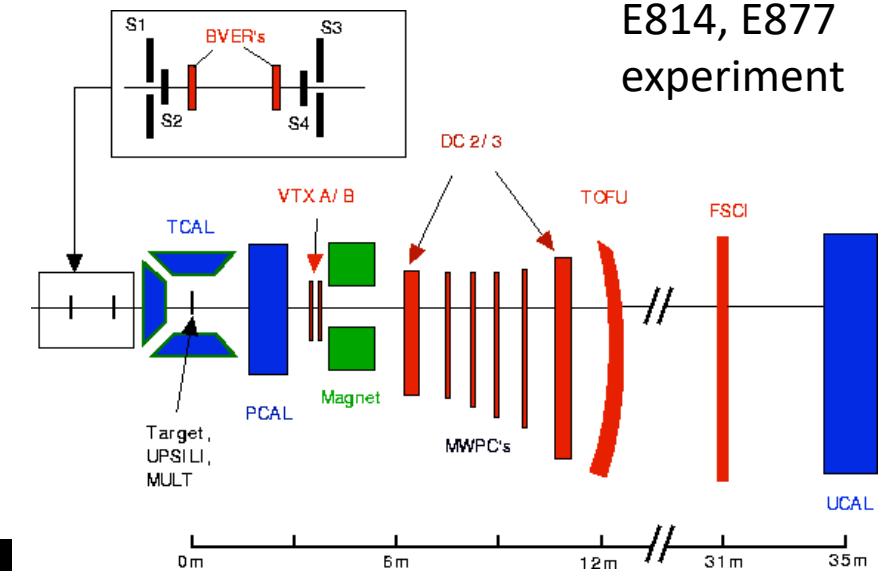
筑波大学 数理物質系 物理学域
宇宙史研究センター(TChOu) クォーク・核物質(QNM)
高エネルギー原子核実験グループ
江角 晋一

E802, E859, E866, E917
experiment

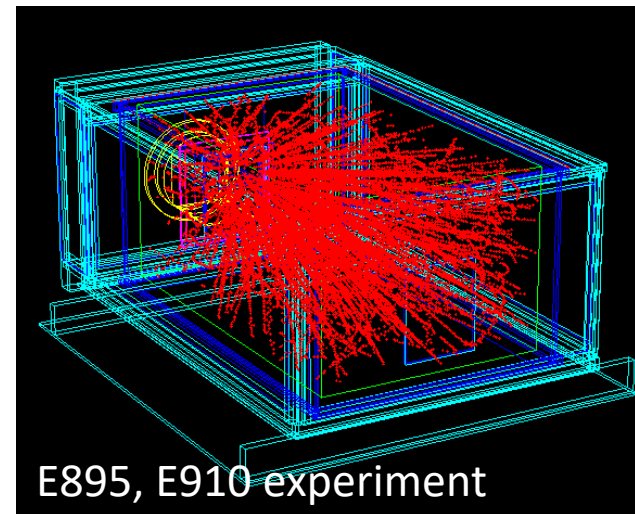
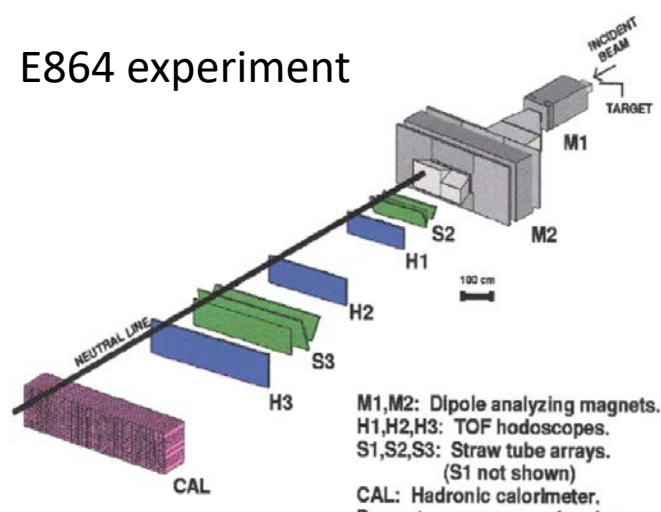


BNL-AGS加速器を用いた 固定標的実験

E814, E877
experiment

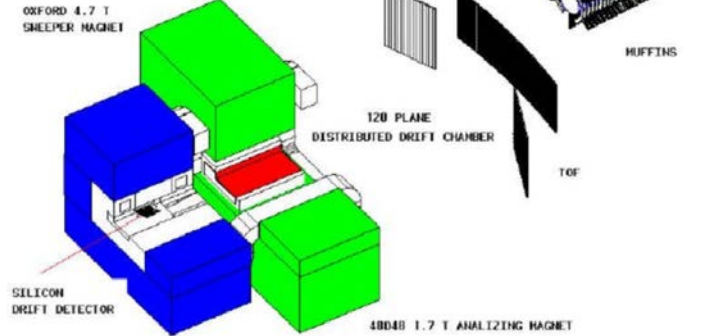


E864 experiment

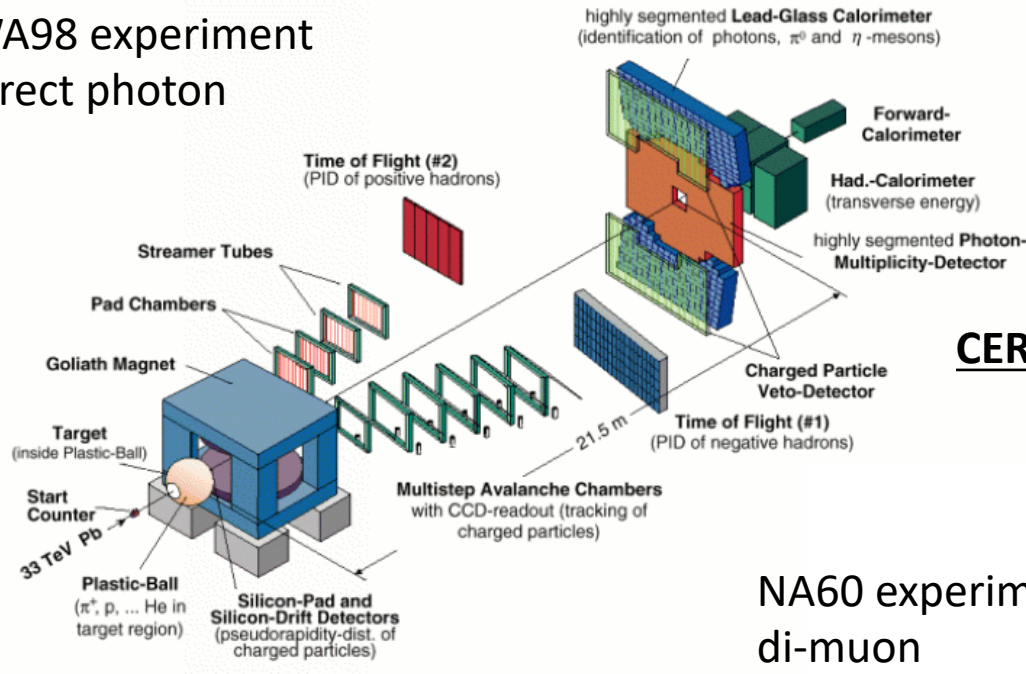


RHIC-BES2 (FXT)エネルギー領域

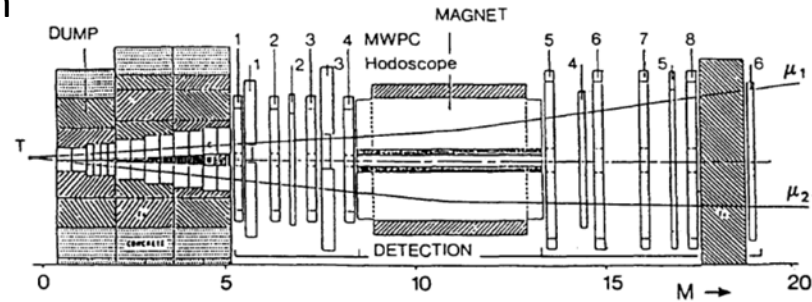
E896 experiment



WA98 experiment
direct photon

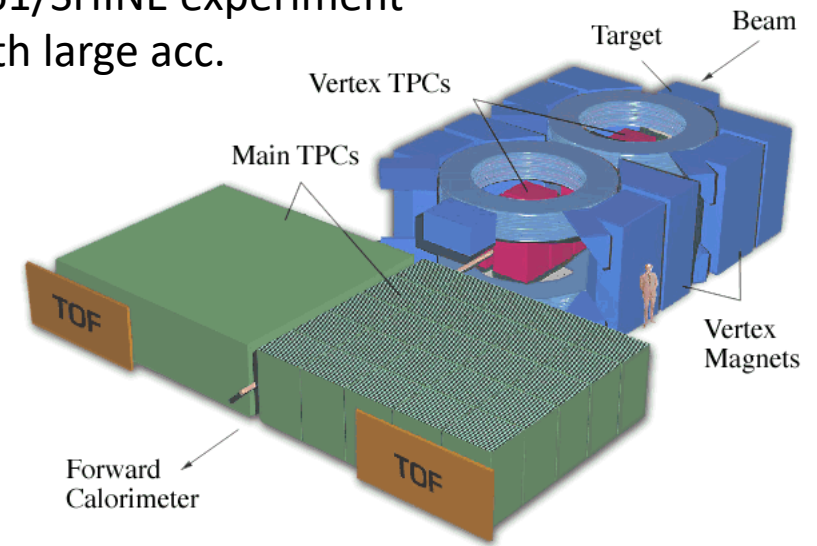


NA38, NA50, NA51 experiment
di-muon

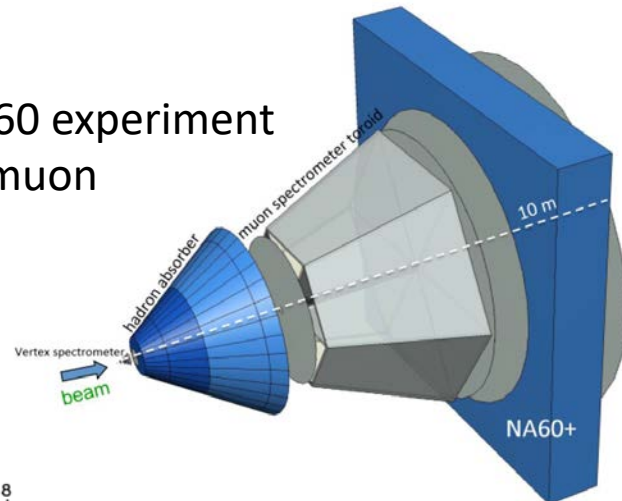


**RHIC-BES2 (COL)
エネルギー領域**

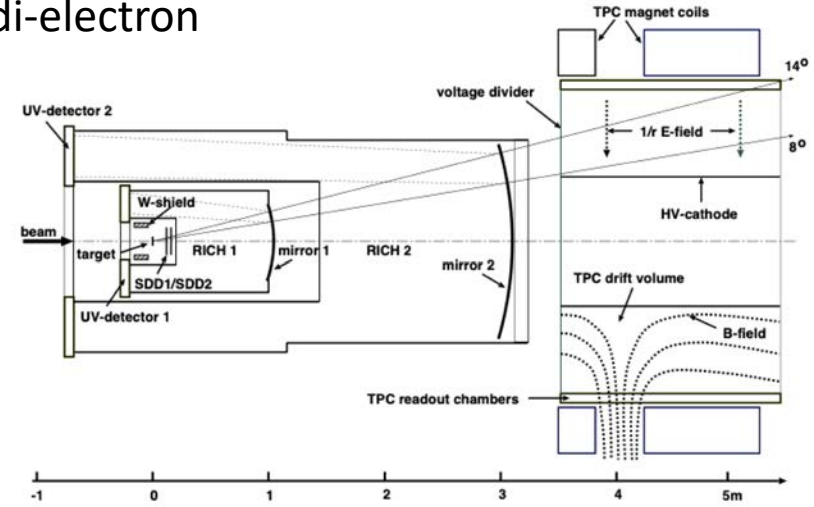
NA49, NA61/SHINE experiment
hadron with large acc.

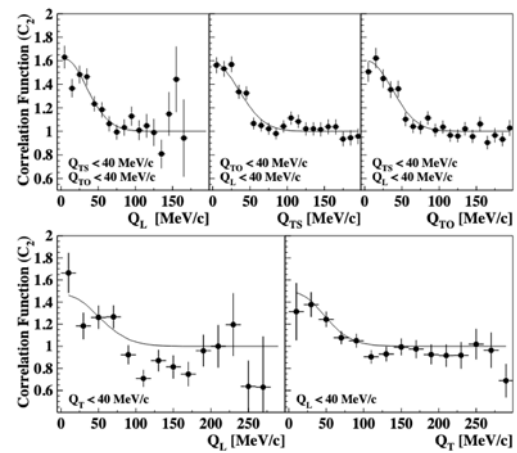
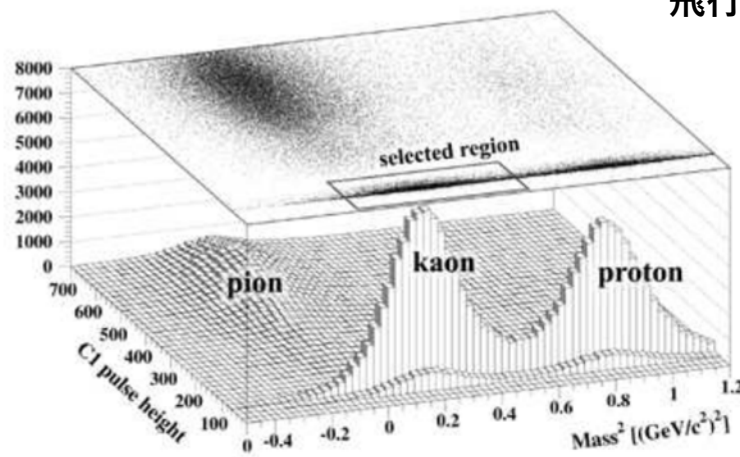
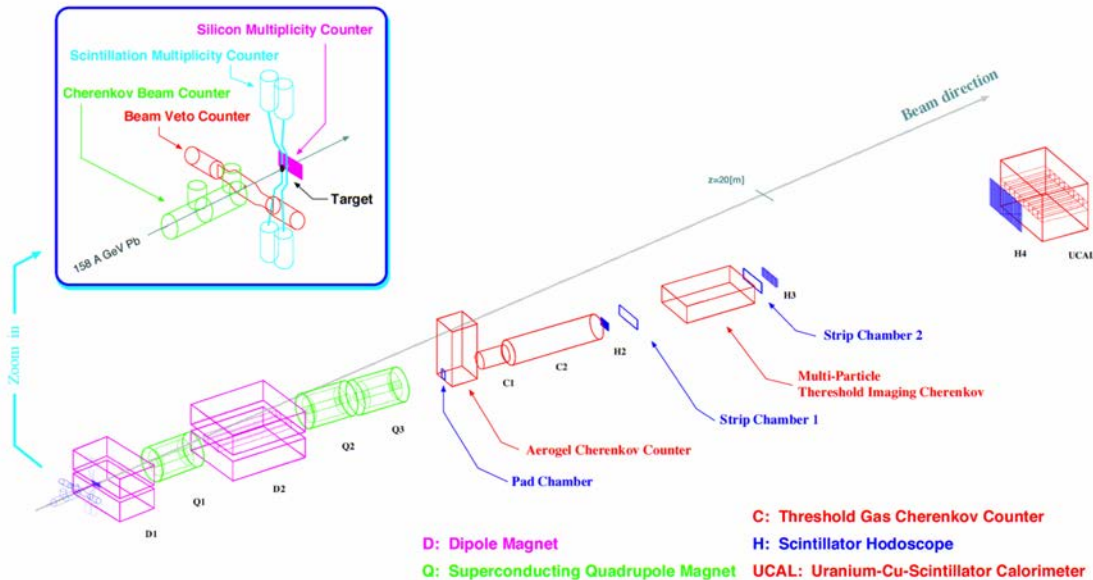


NA60 experiment
di-muon

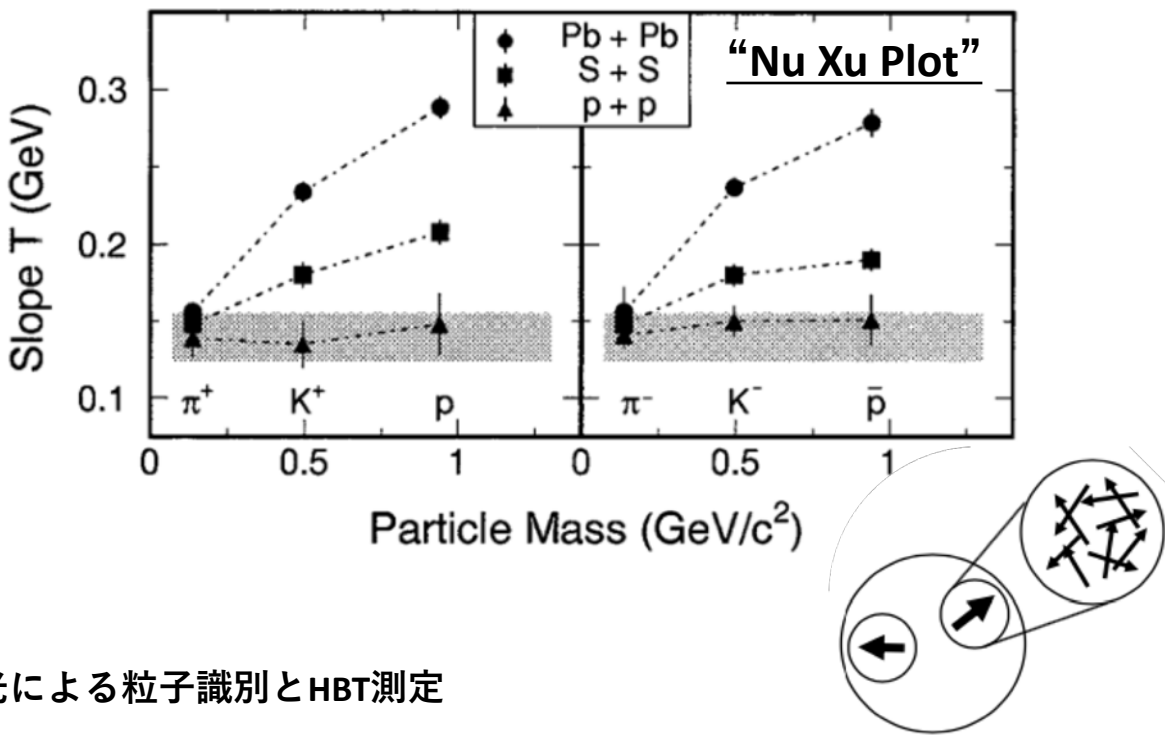


NA45/CERES experiment
di-electron

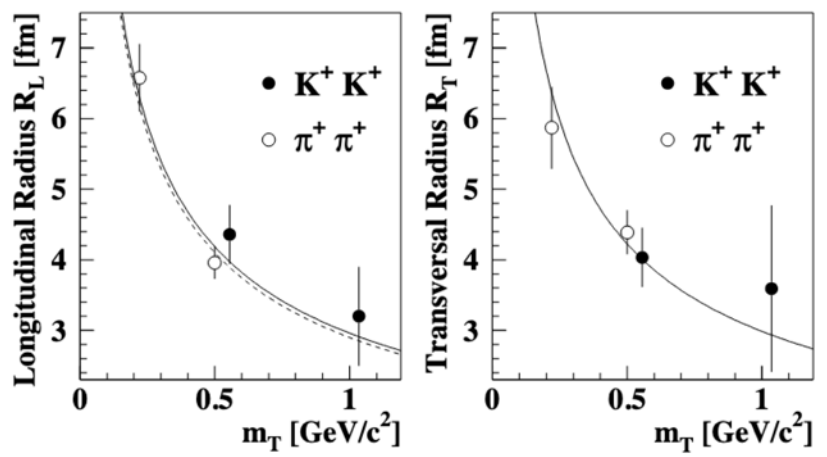


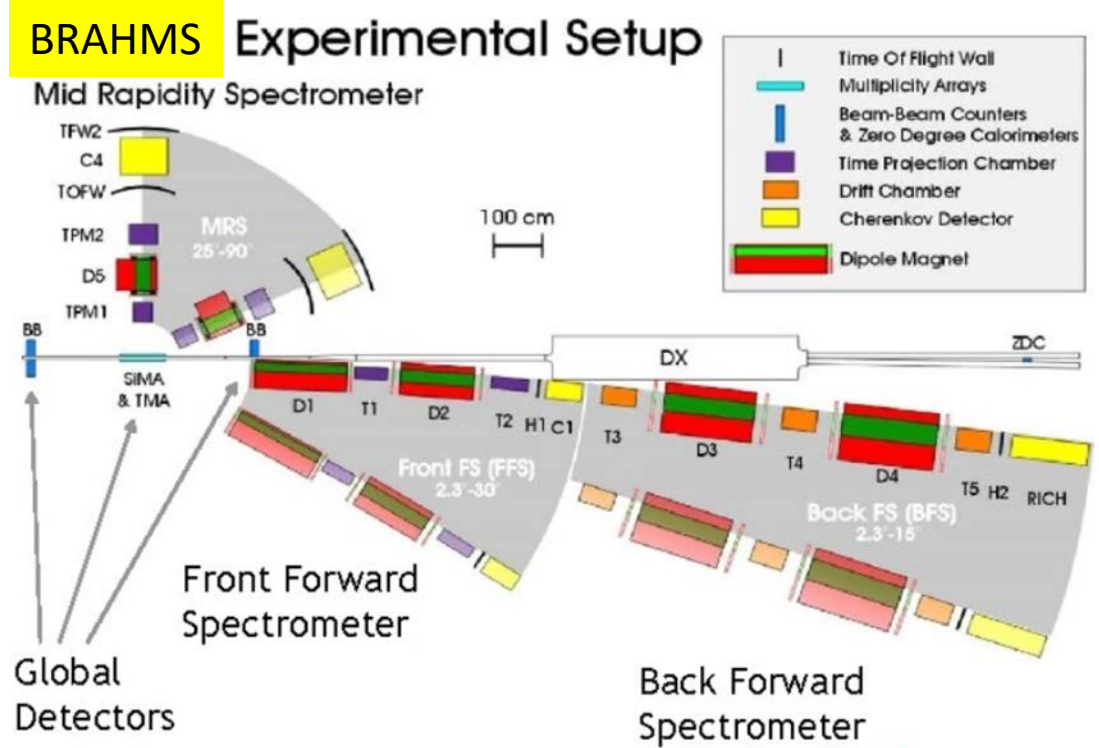
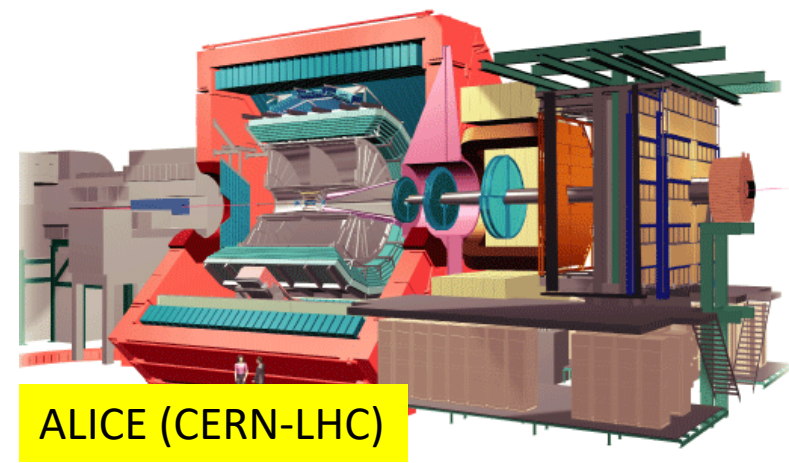
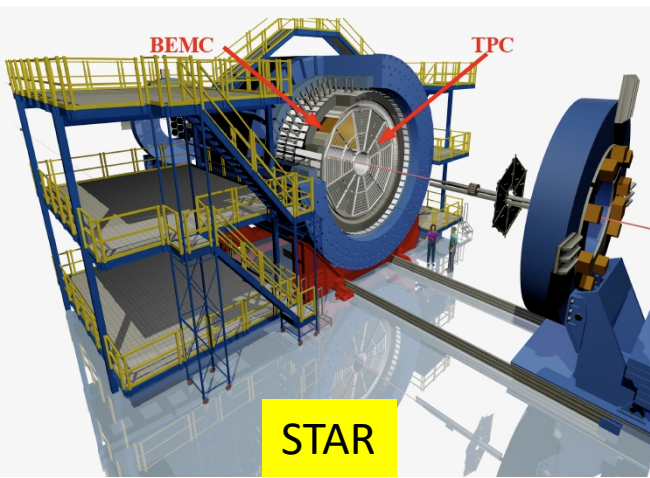
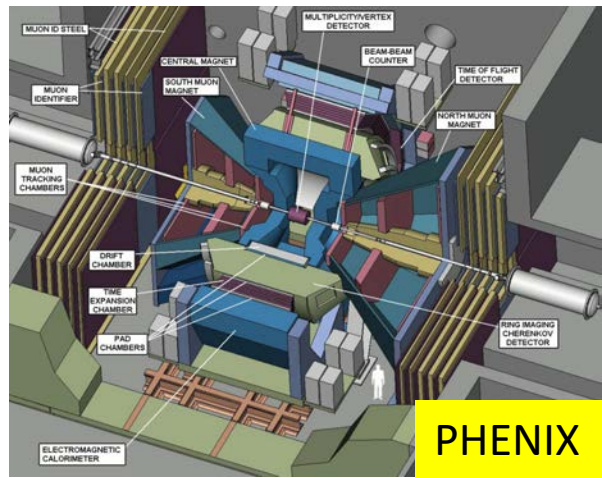


熱力学的凍結温度と半径方向膨張

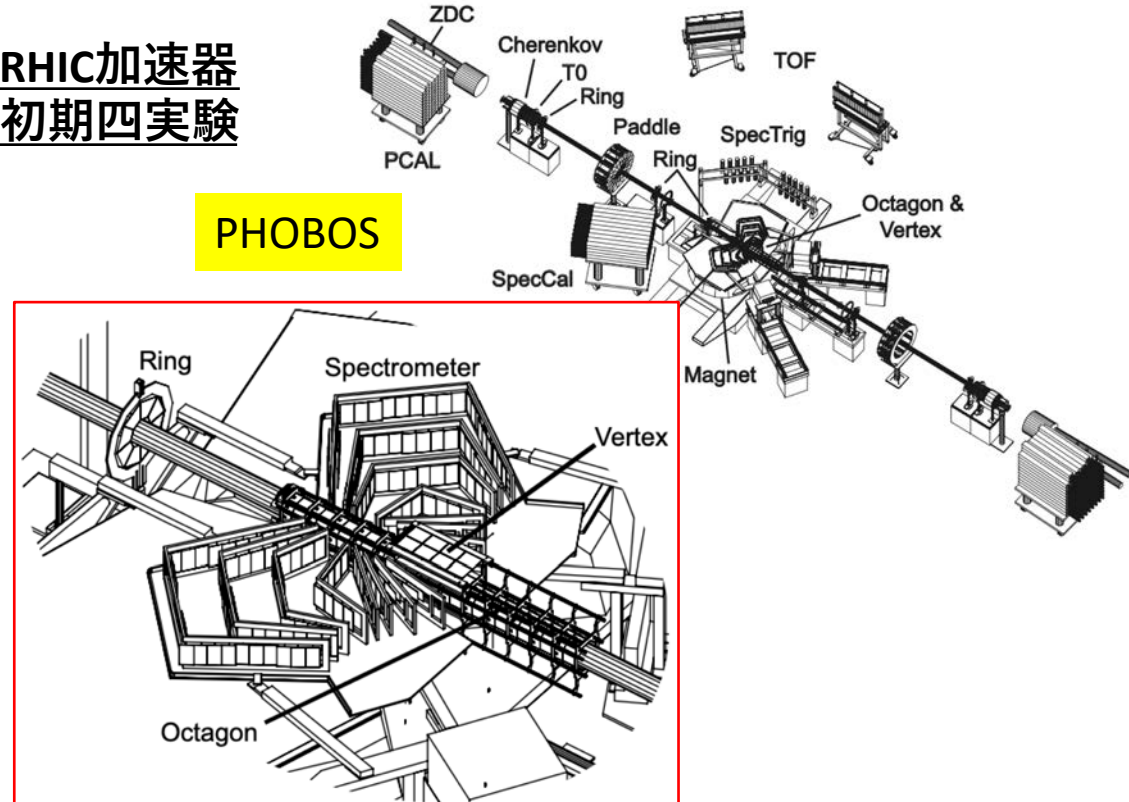


飛行時間測定 + チェレンコフ光による粒子識別とHBT測定

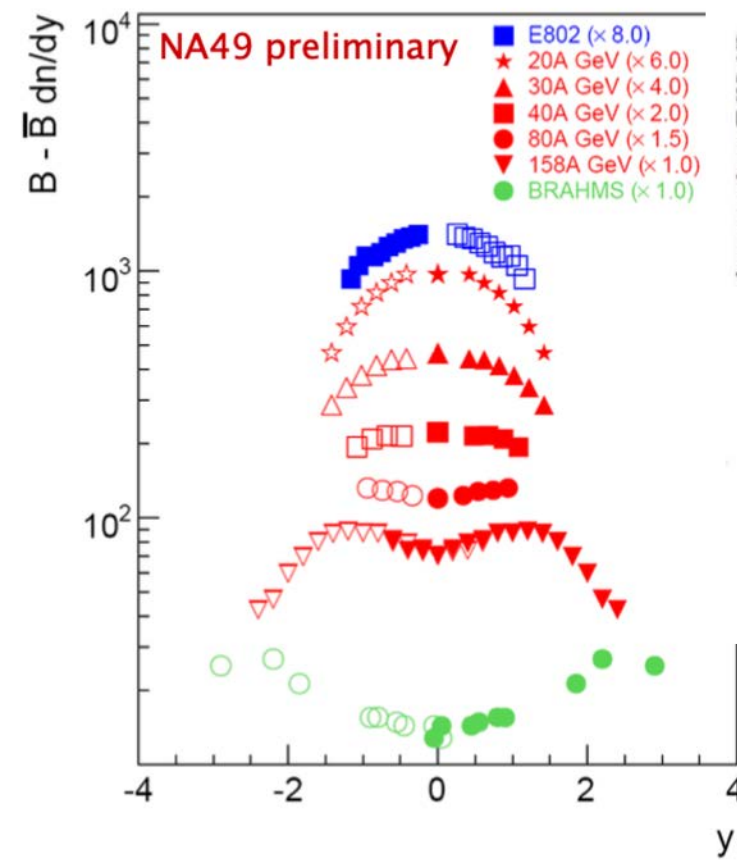




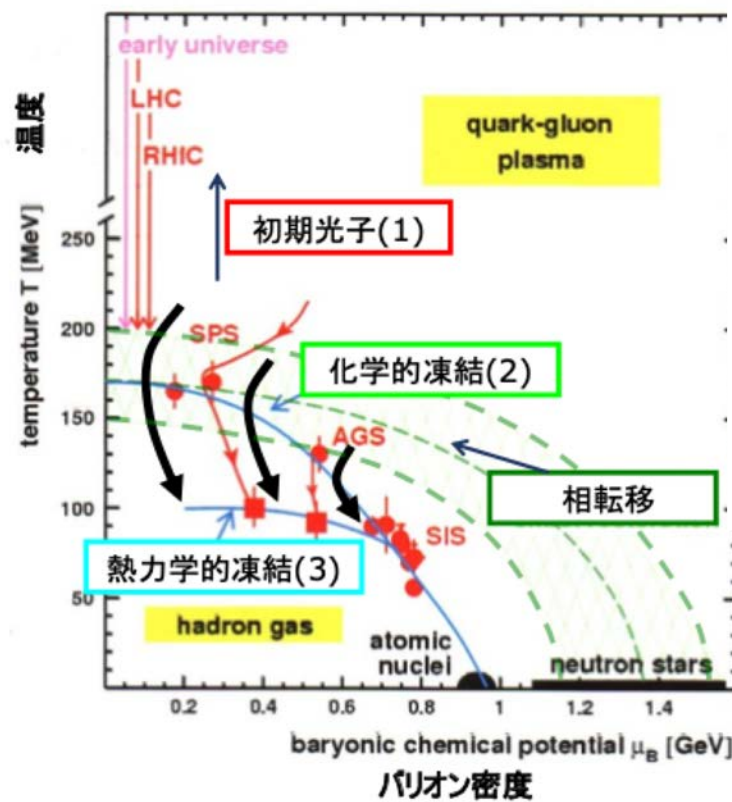
BNL-RHIC 加速器 での初期四実験



バリオンのStopping

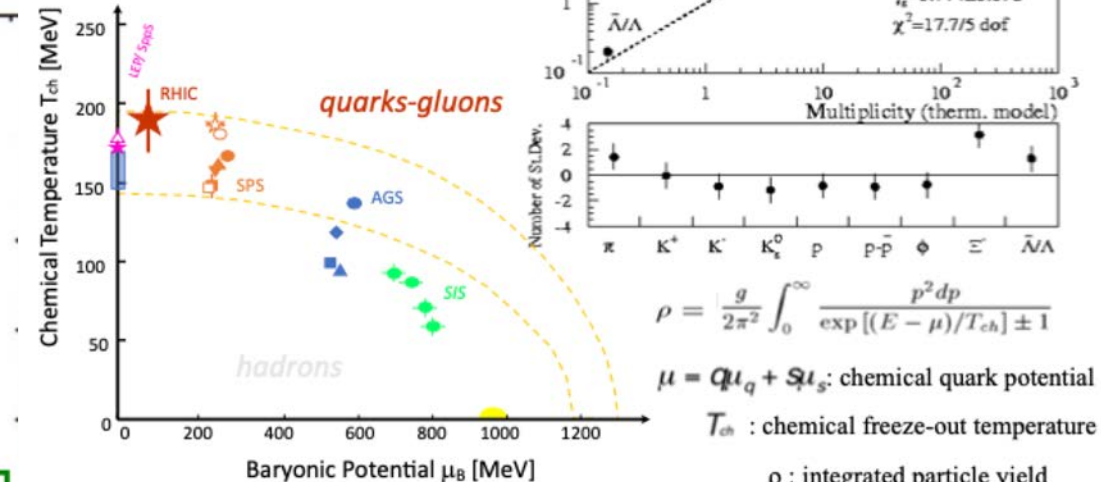


実験結果で見る相図



化学的凍結

the end of inelastic interactions

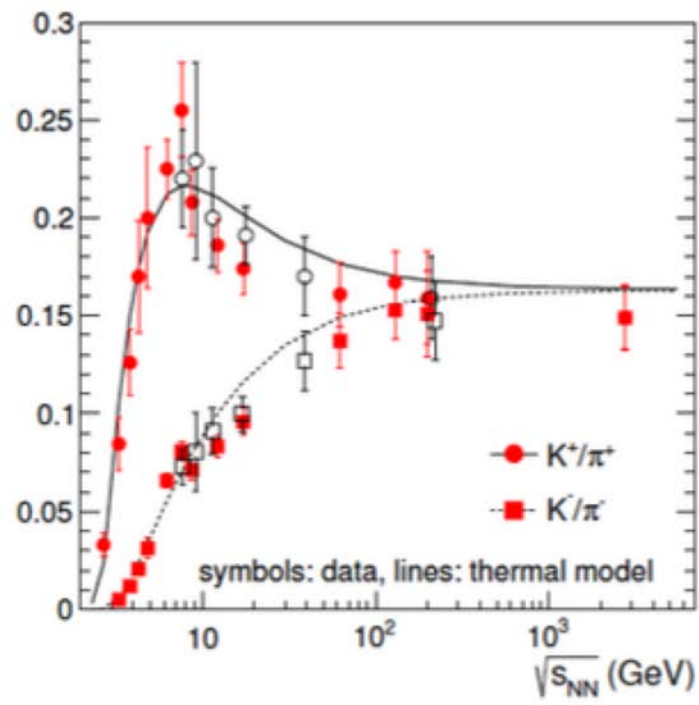
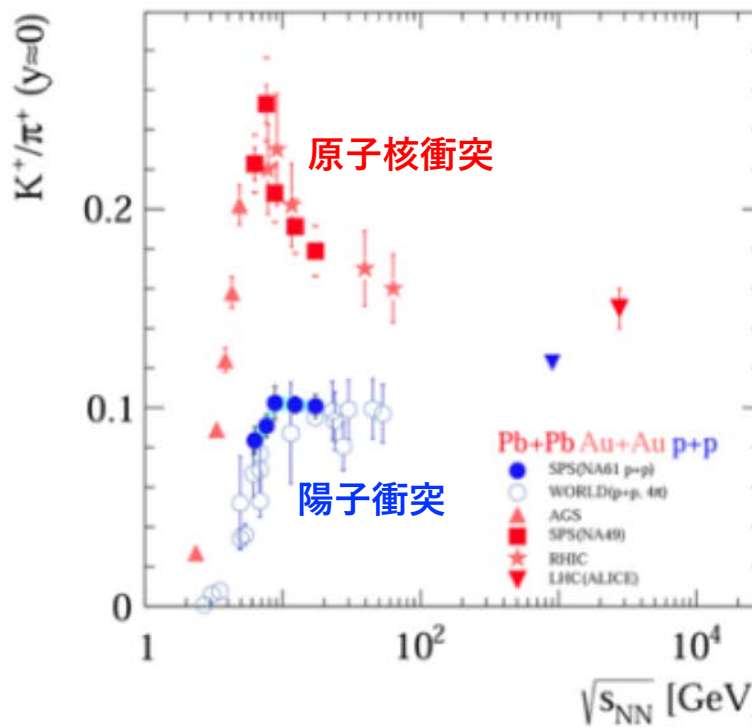


粒子収量・比で見る化学的凍結温度 (SPSにおけるQGP証拠1)

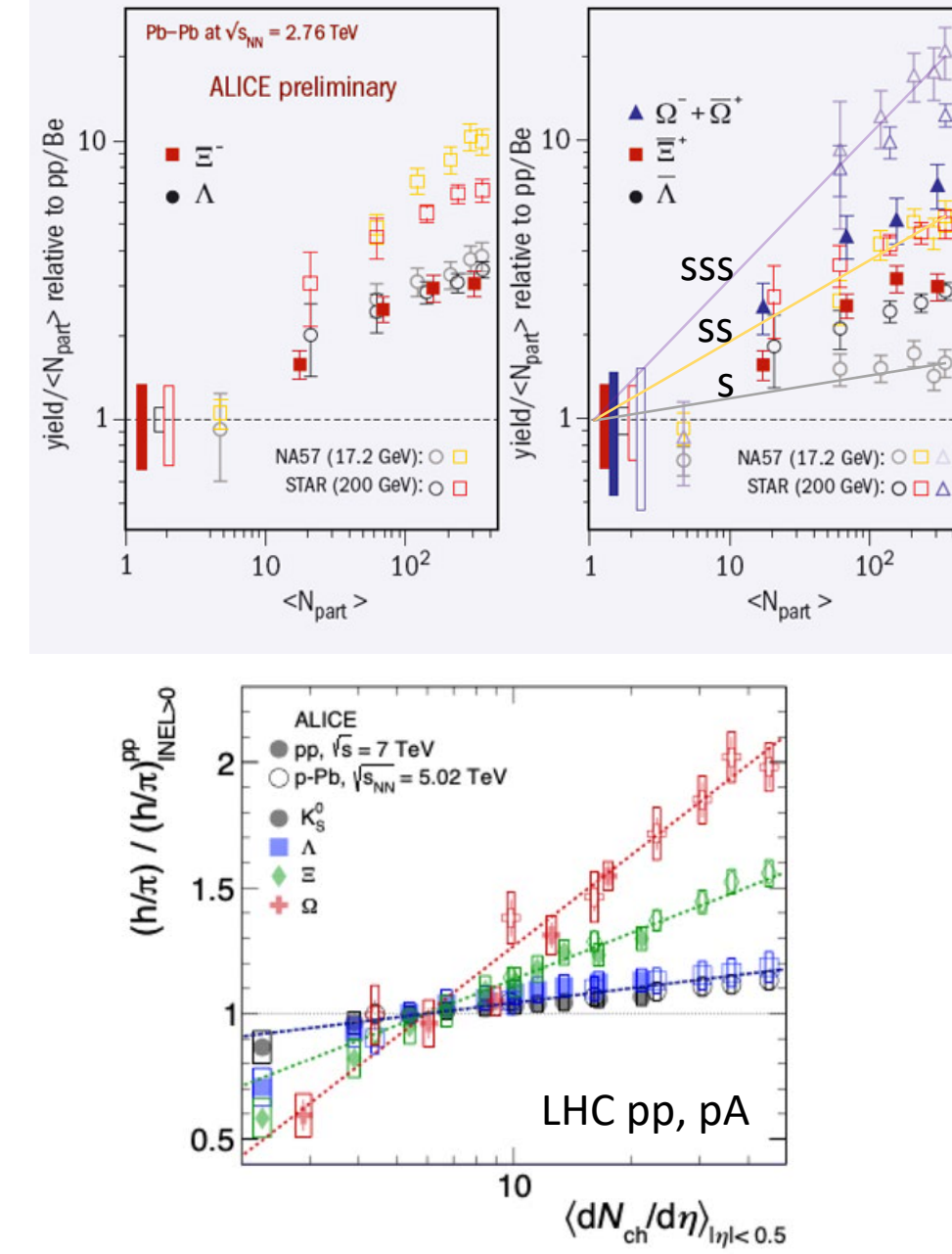
1. 直接光子で見る初期温度
2. 粒子比で見る化学的凍結温度（相転移温度）
3. 運動量分布で見る熱力学的凍結温度

ストレンジネスの増大 (SPSにおけるQGP証拠2)

K/pi hornは、相転移か？

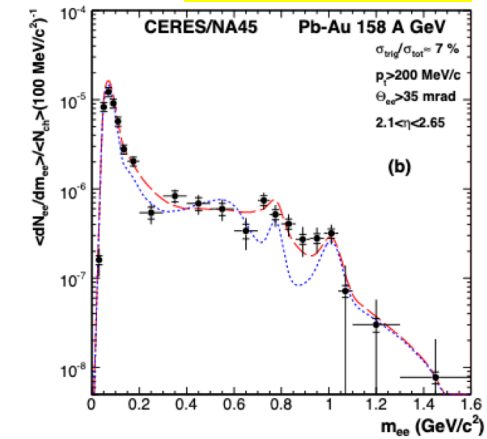
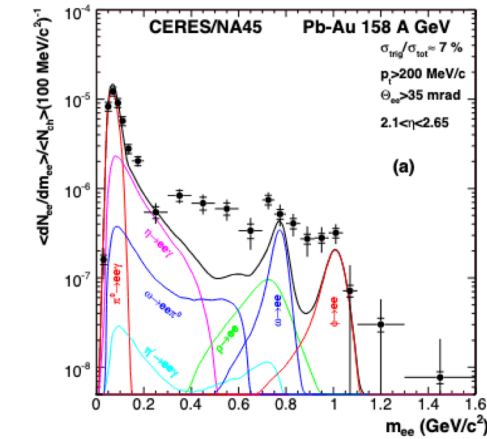
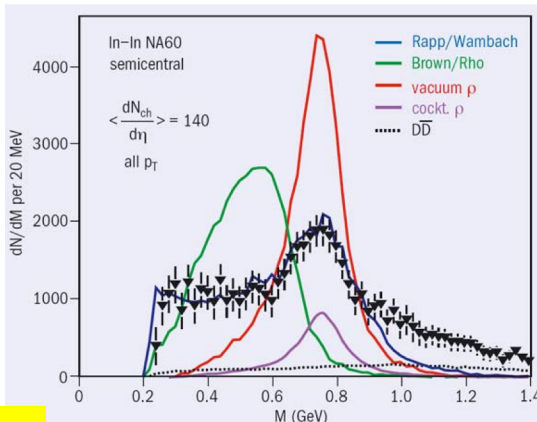
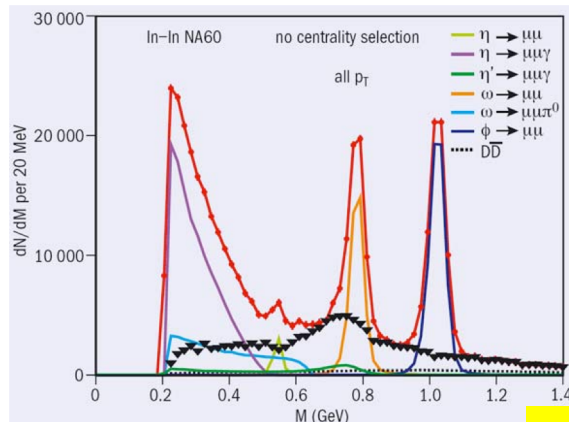


u,d,s クォーク質量
QGP相転移温度
c,b,t クォーク質量



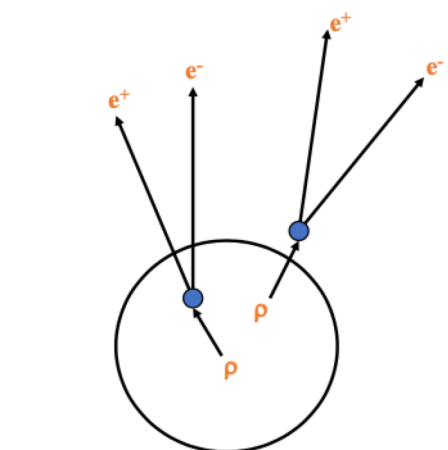
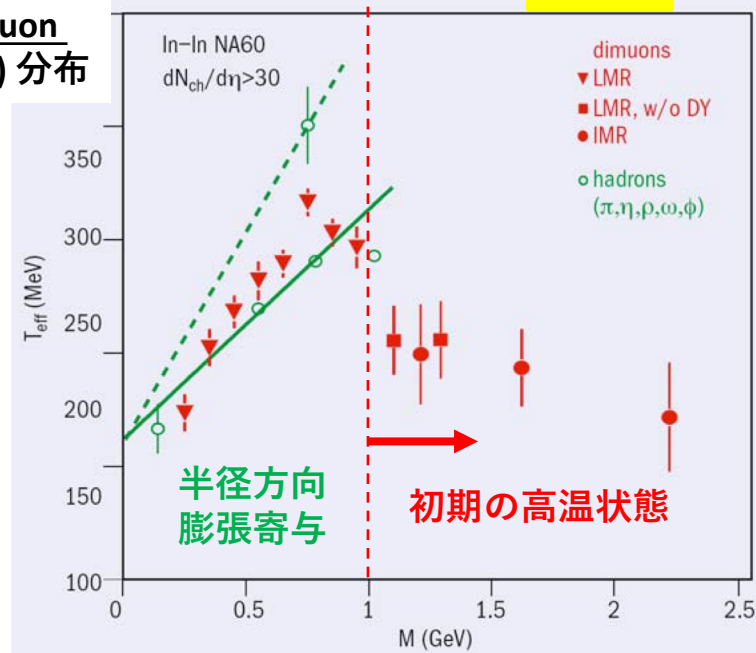
di-muon M_{inv} 分布, di-electron M_{inv} 分布 (SPSにおけるQGP証拠3)

CERES/NA45



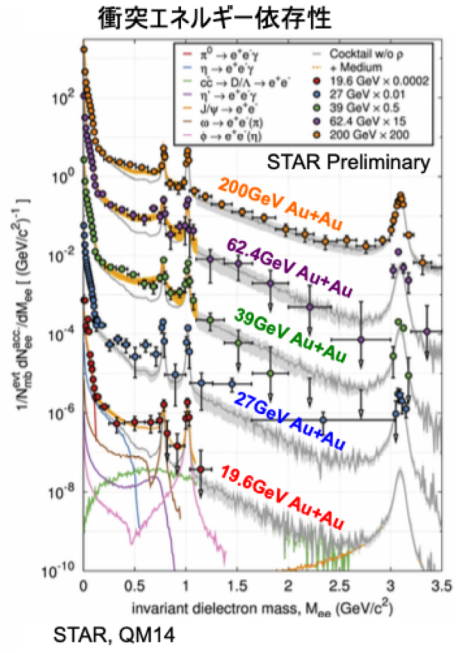
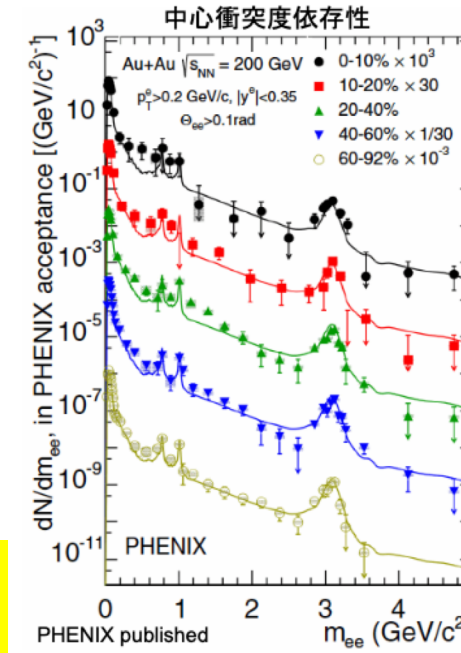
di-muon

$p_T(m_T)$ 分布



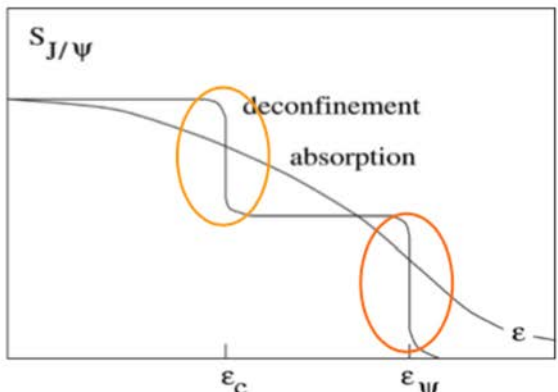
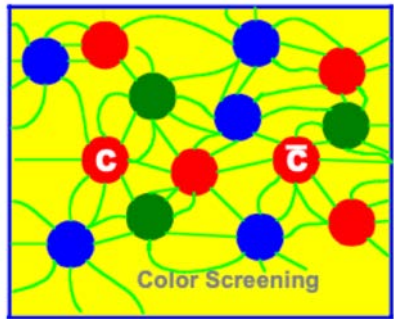
質量変化
系の寿命
熱光子

PHENIX
STAR

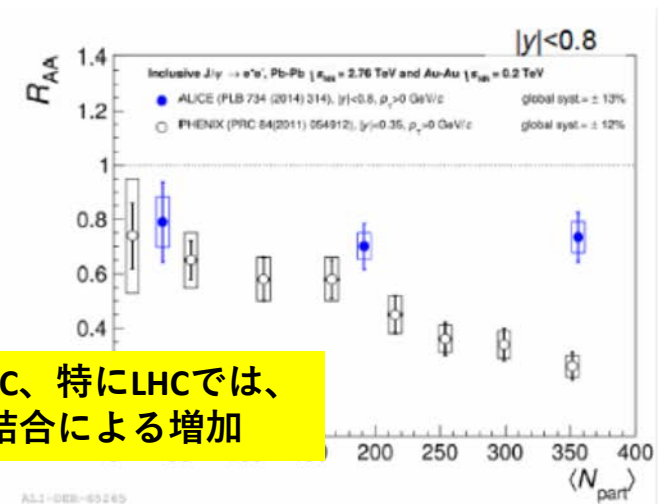
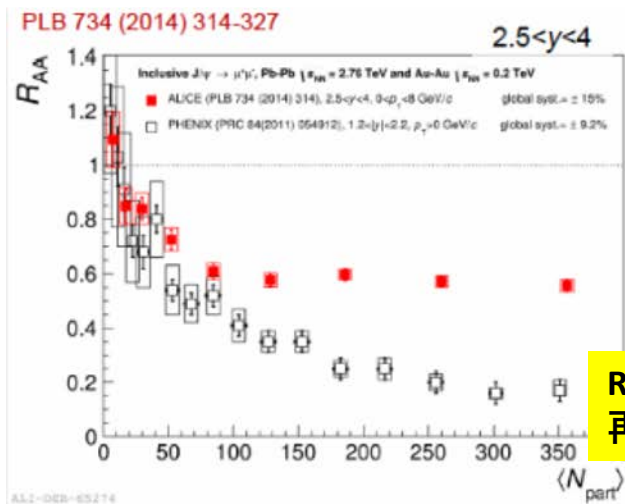
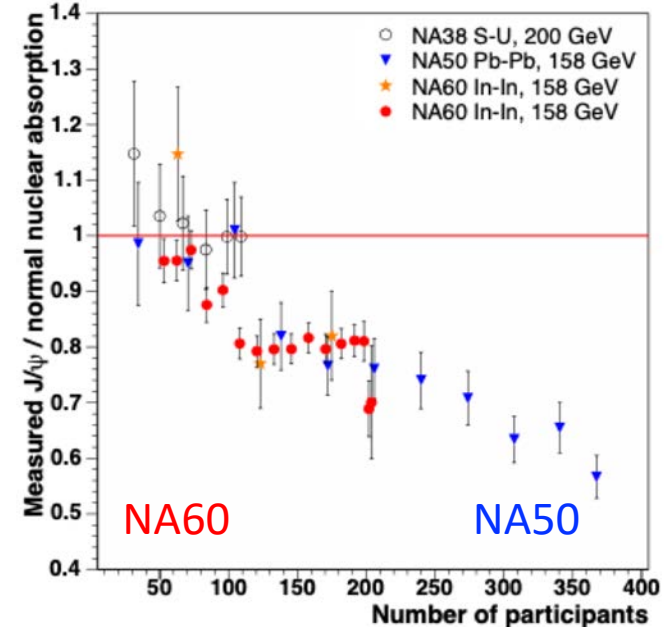
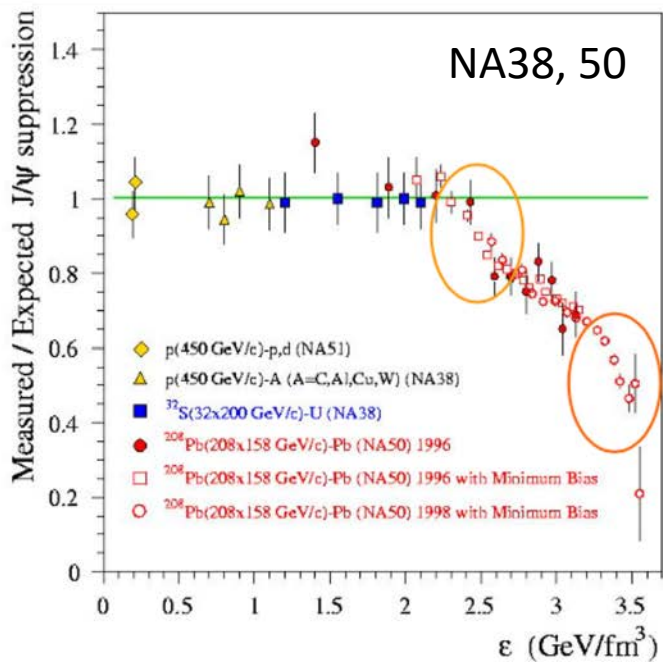
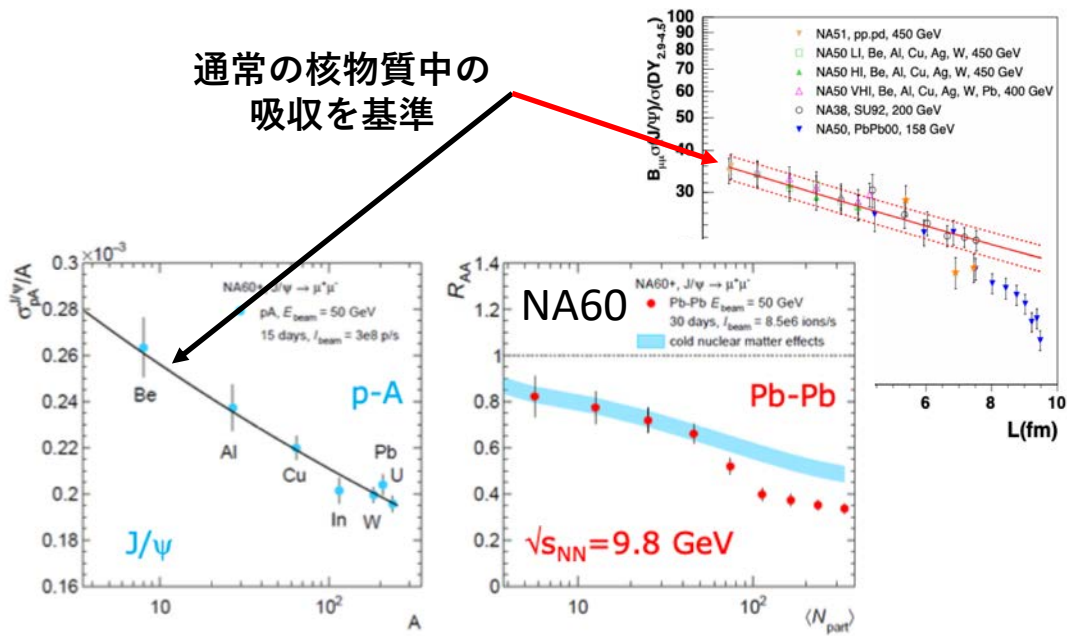


(SPSにおけるQGP証拠4)

J/ψの消滅 (QGP中でのカラー遮蔽)



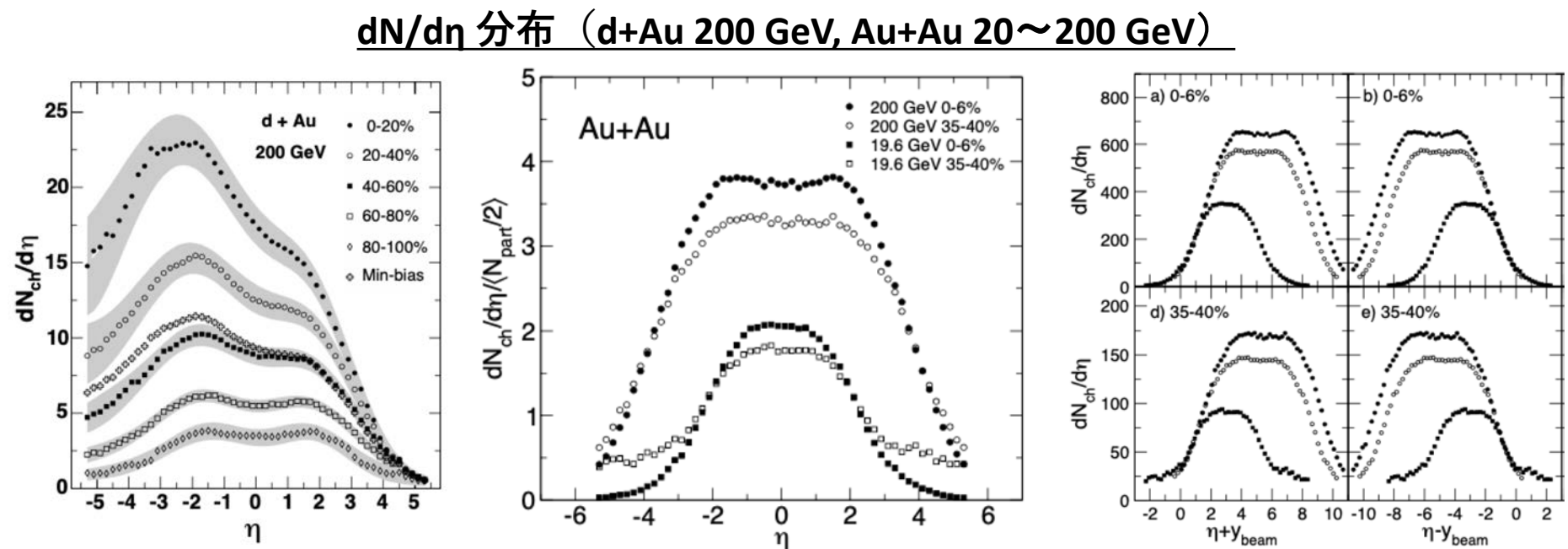
通常の核物質中の
吸収を基準



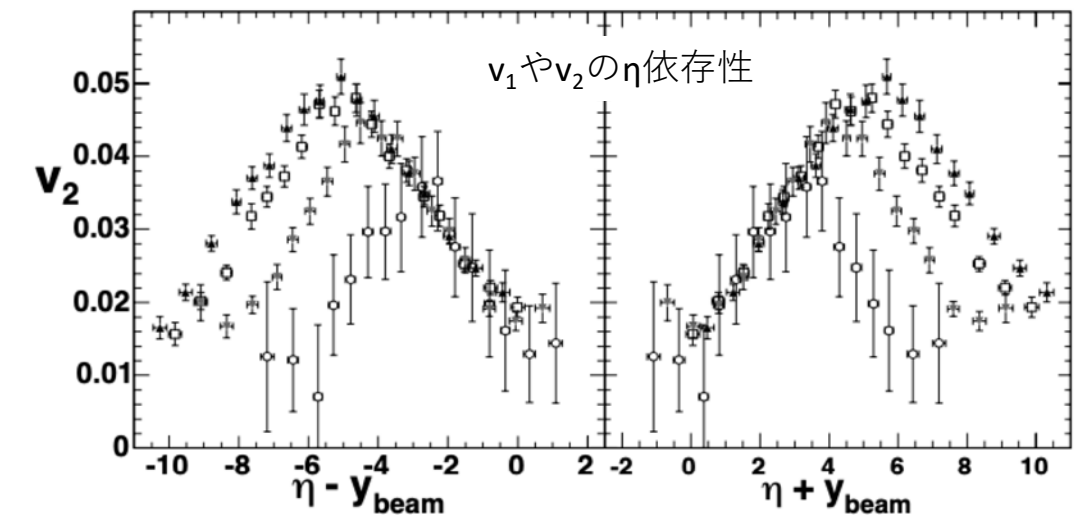
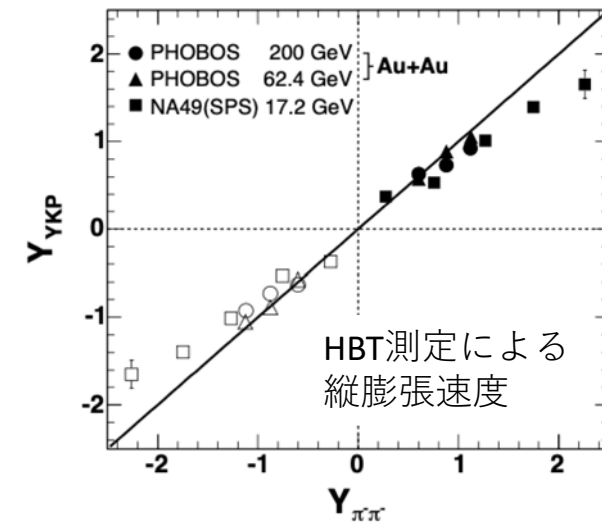
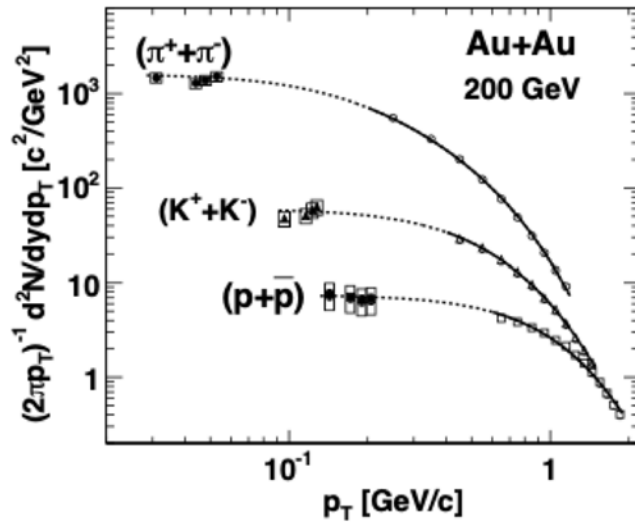
RHIC、特にLHCでは、
再結合による増加

RHIC-PHOBOS 実験の強み

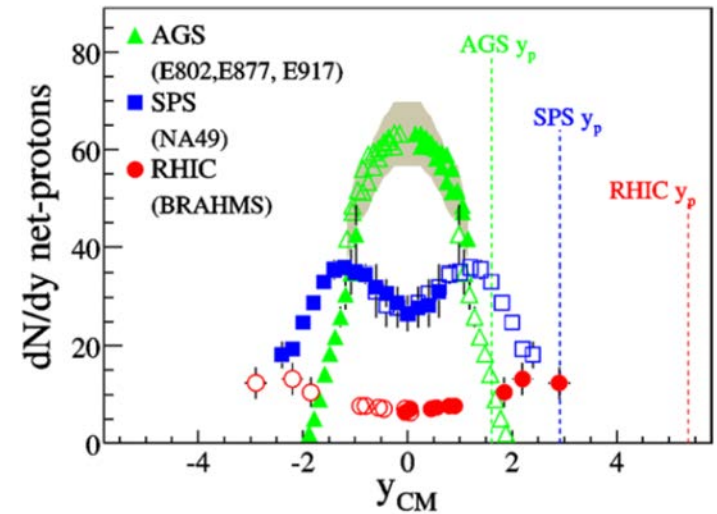
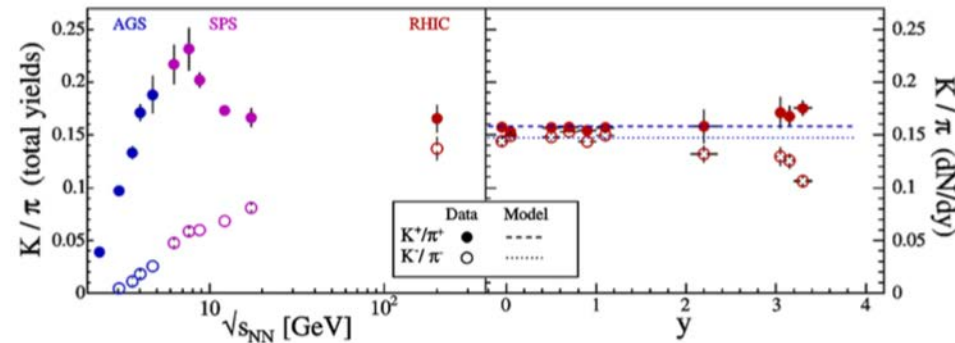
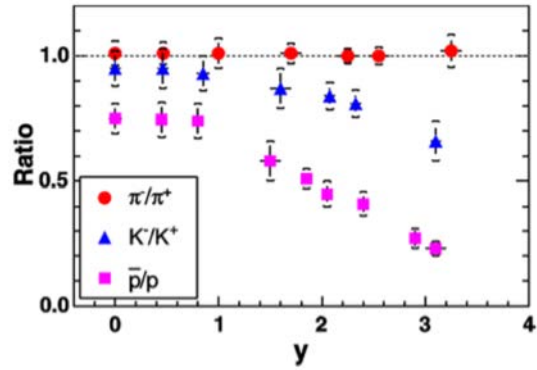
(全 η 領域にわたる
荷電粒子測定)



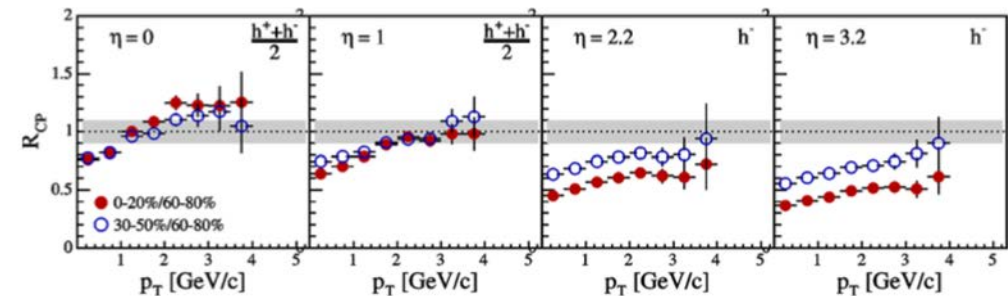
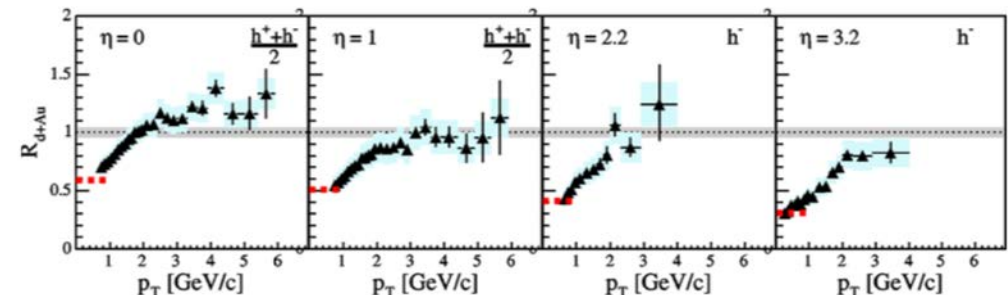
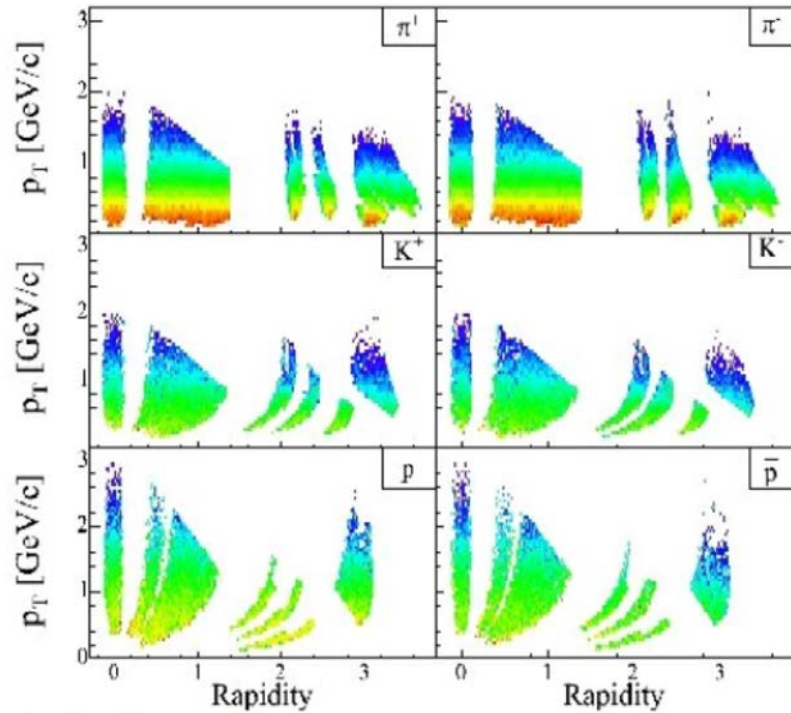
シリコン検出器の dE/dx によるPID



RHIC-BRAHMA実験の強み（広いrapidity領域にわたるハドロン粒子識別）

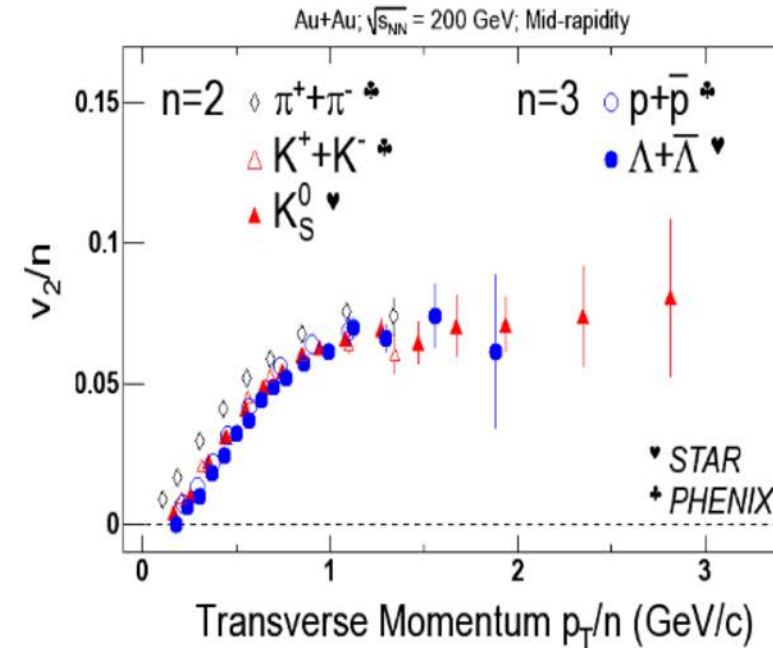
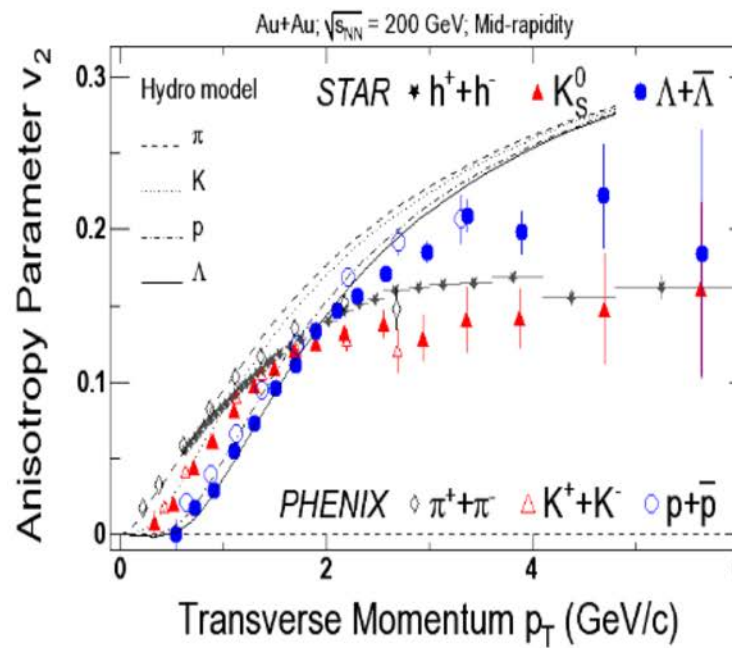
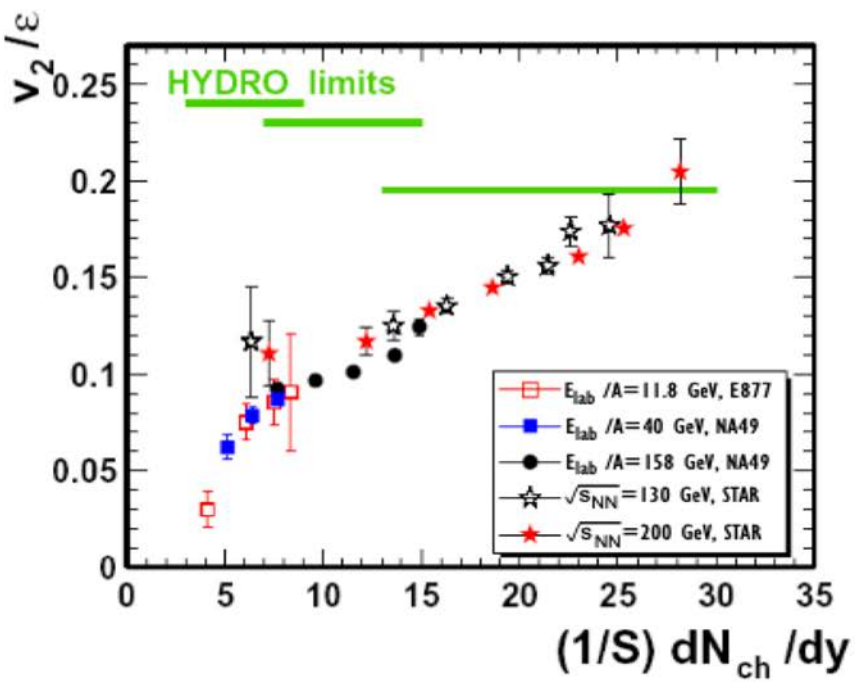
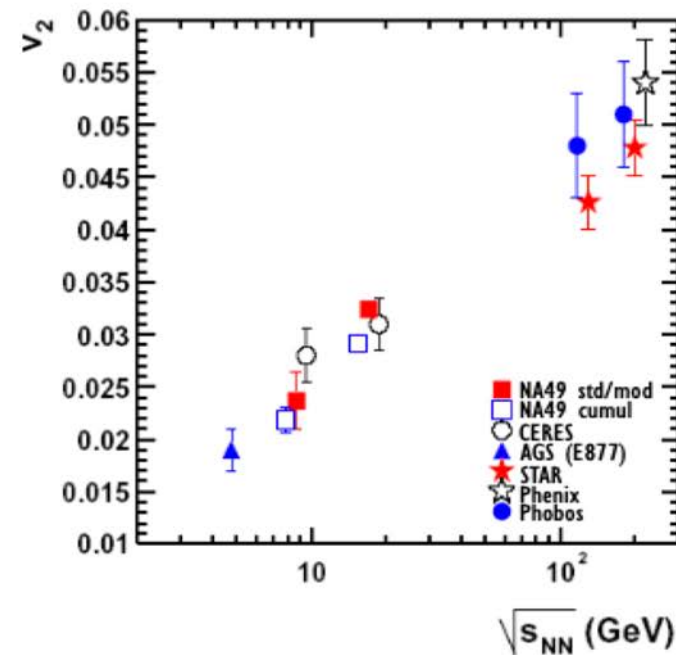
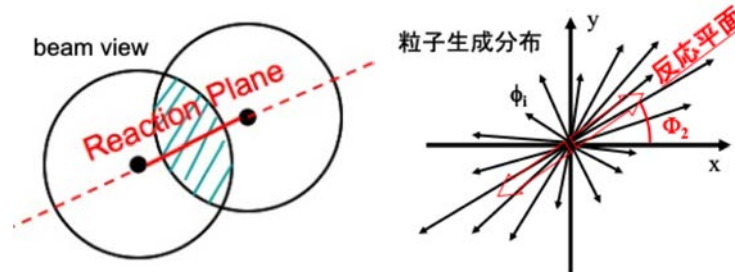


可動型スペクトロ
メーターによる
アクセプタンス

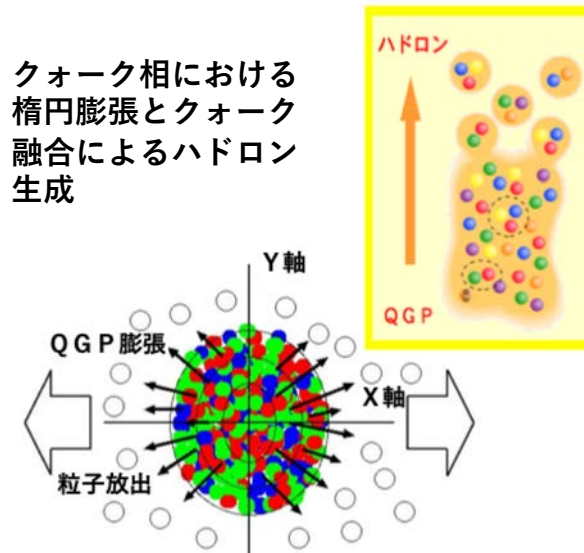


流体極限に迫る橢円フローと クォーク数によるスケーリング則

(RHICにおけるQGP証拠1)

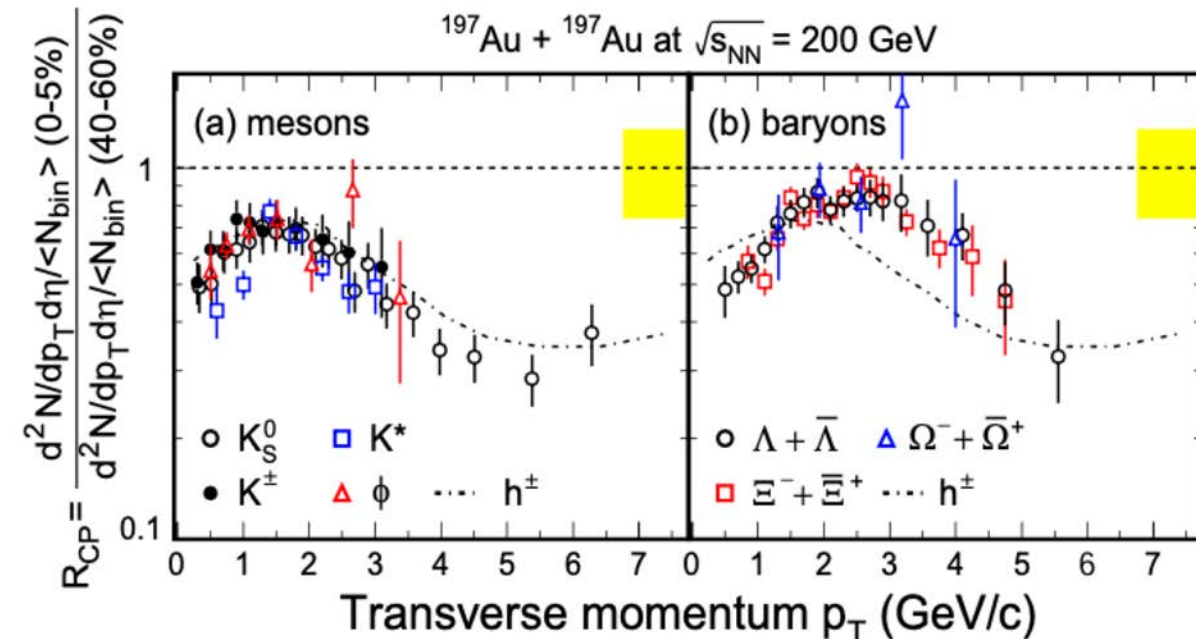
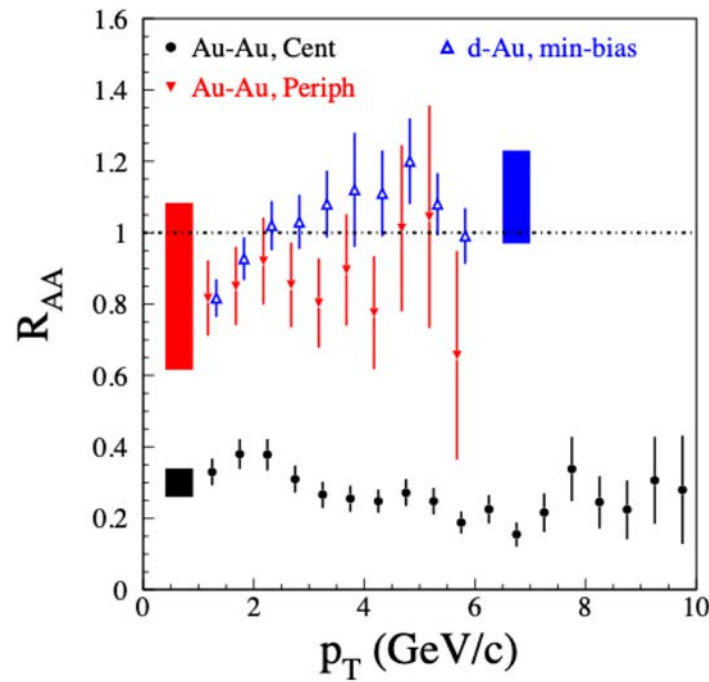
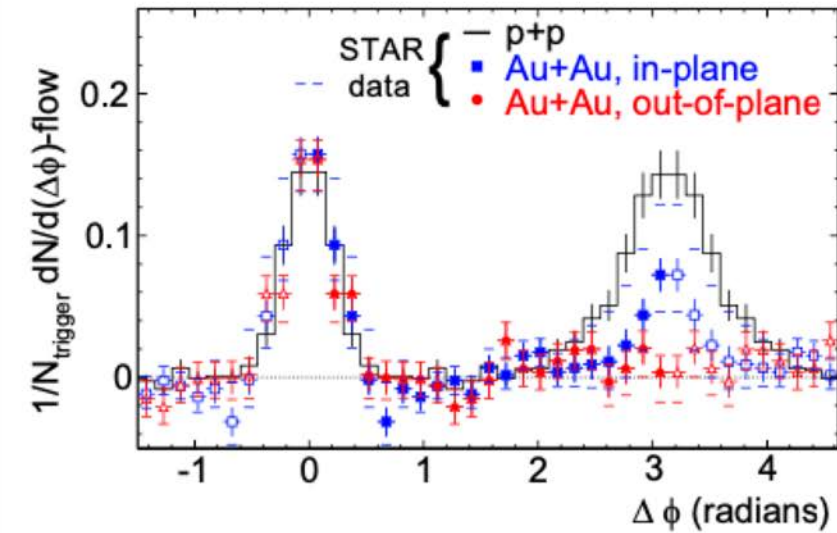
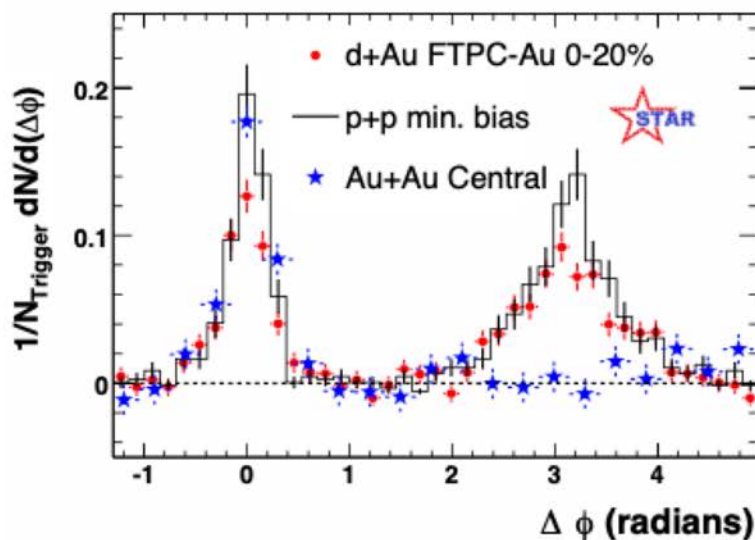
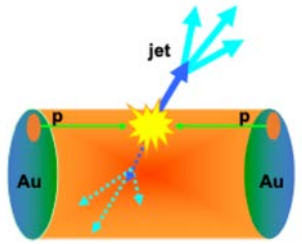


クォーク相における
橢円膨張とクォーク
融合によるハドロン
生成

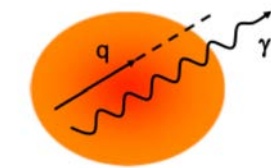


QGP中でのエネルギー損失による ジェット・クエンチング

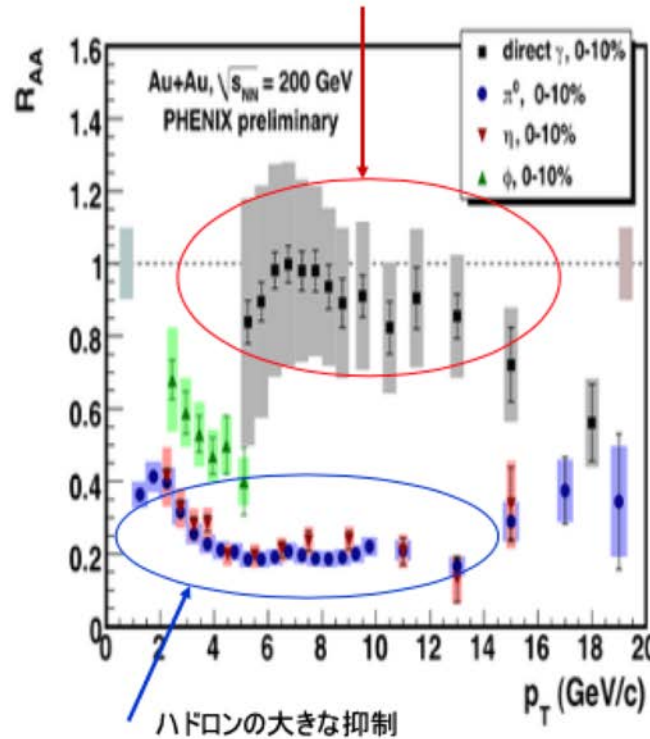
(RHICにおけるQGP証拠2)



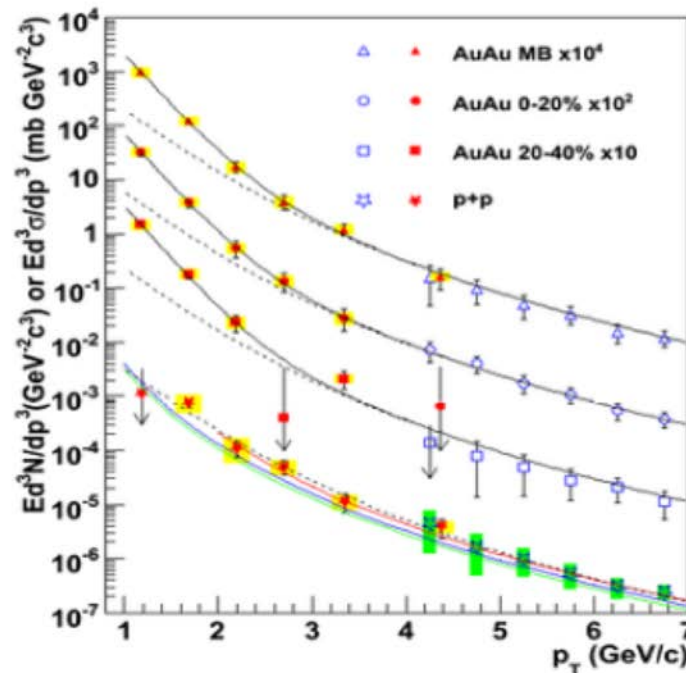
初期光子の非抑制 (p_T>5GeV/c) 、熱光子の発見 (p_T<3GeV/c) 、大きな熱光子v2 (光子パズル)



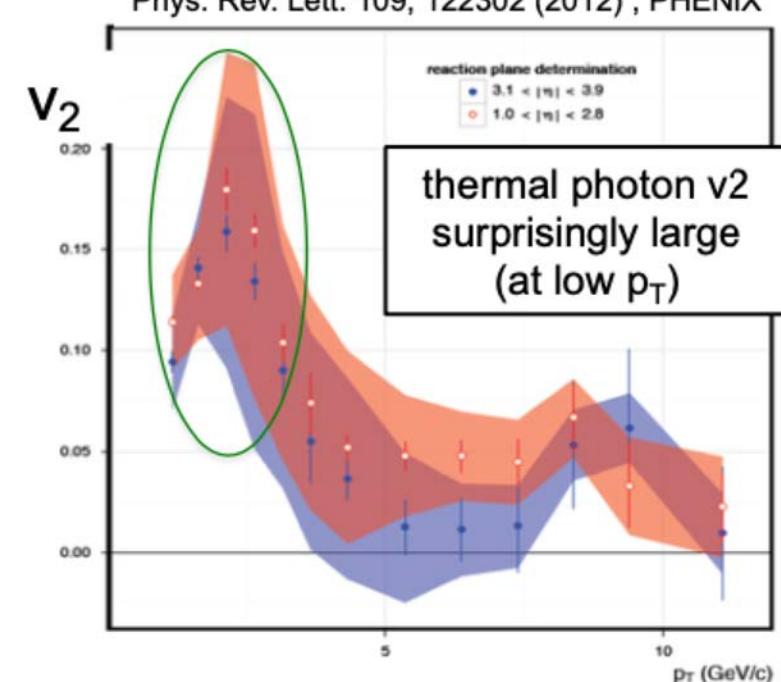
直接光子の非抑制



高温QGP相からの
熱光子による温度測定

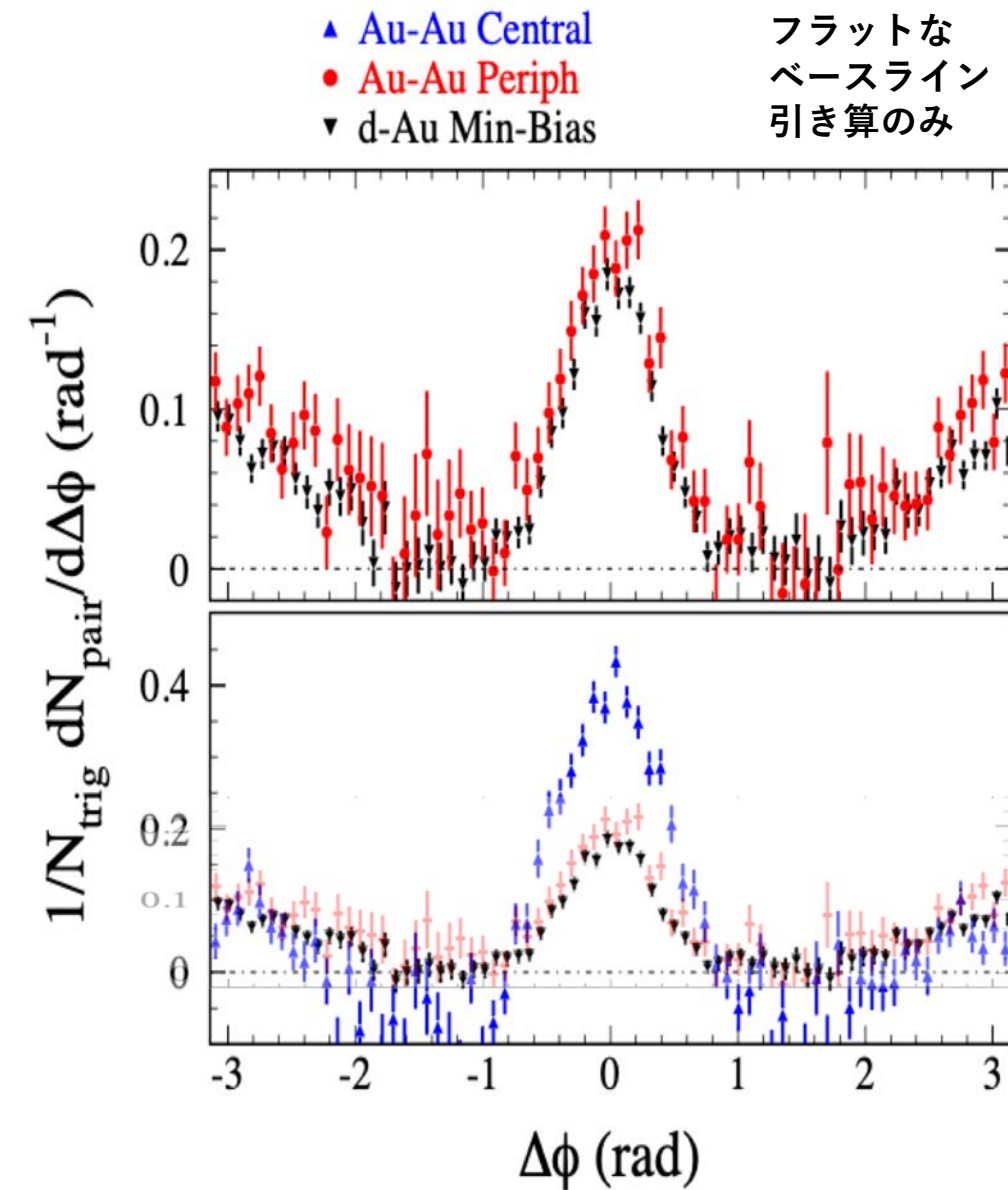
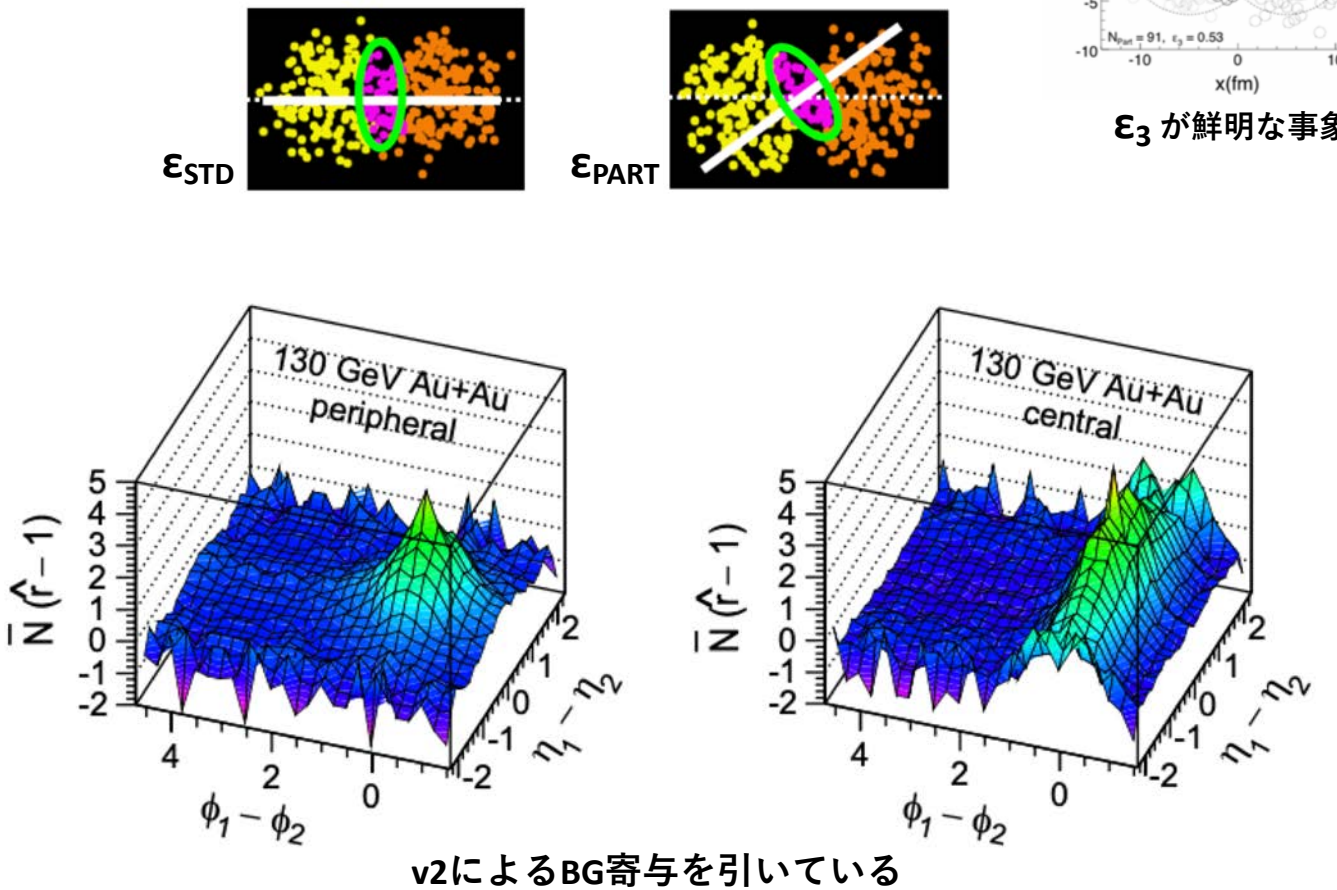


Phys. Rev. Lett. 109, 122302 (2012) , PHENIX

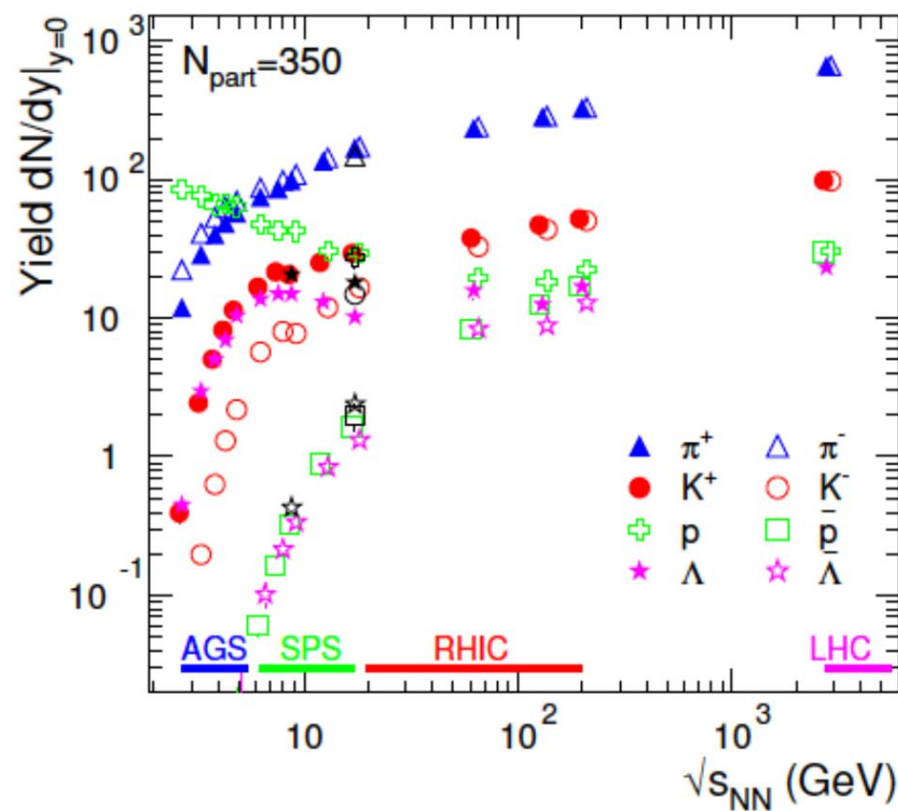
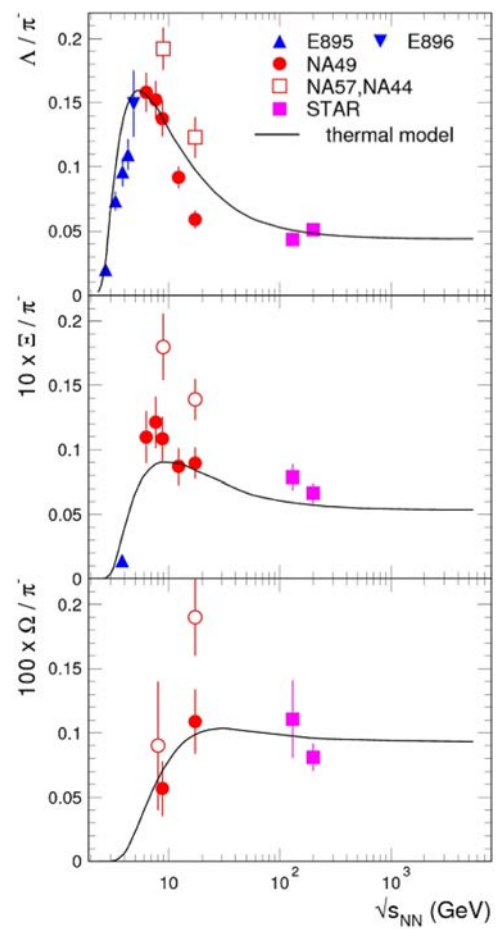


Ridge発見、Mach-cone発見（誤報）

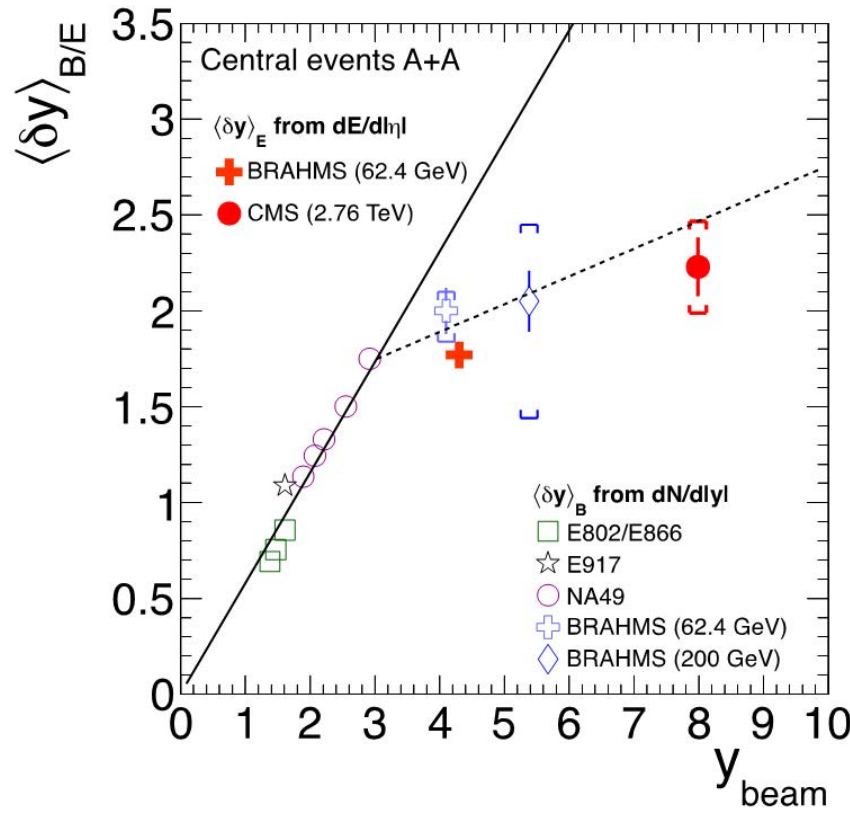
初期異方性ゆらぎ起源の高次フロー v_n ($n > 2$)
橍円率も ϵ (Standard)から、 ϵ (Participant)へ



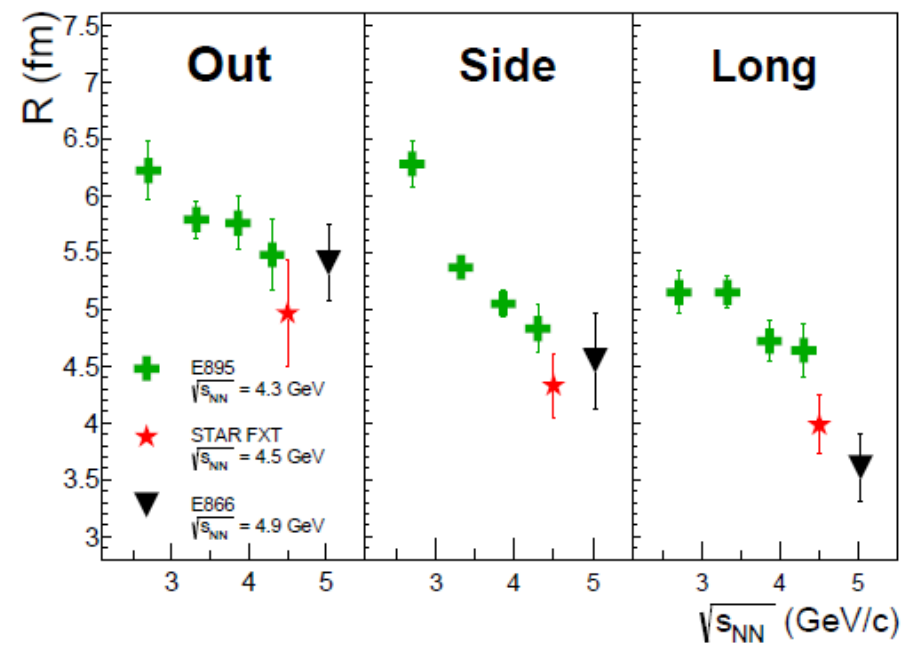
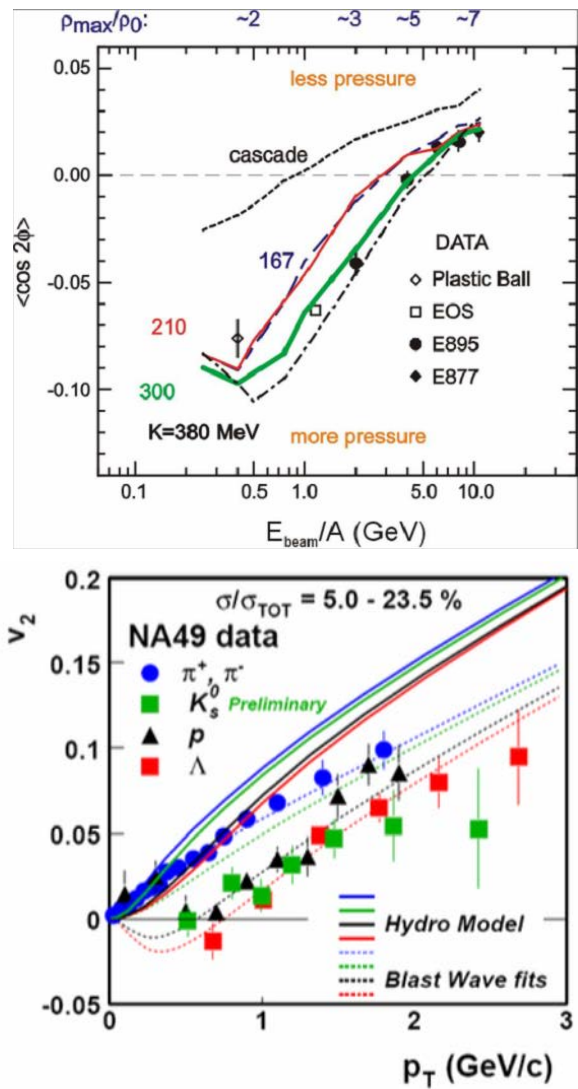
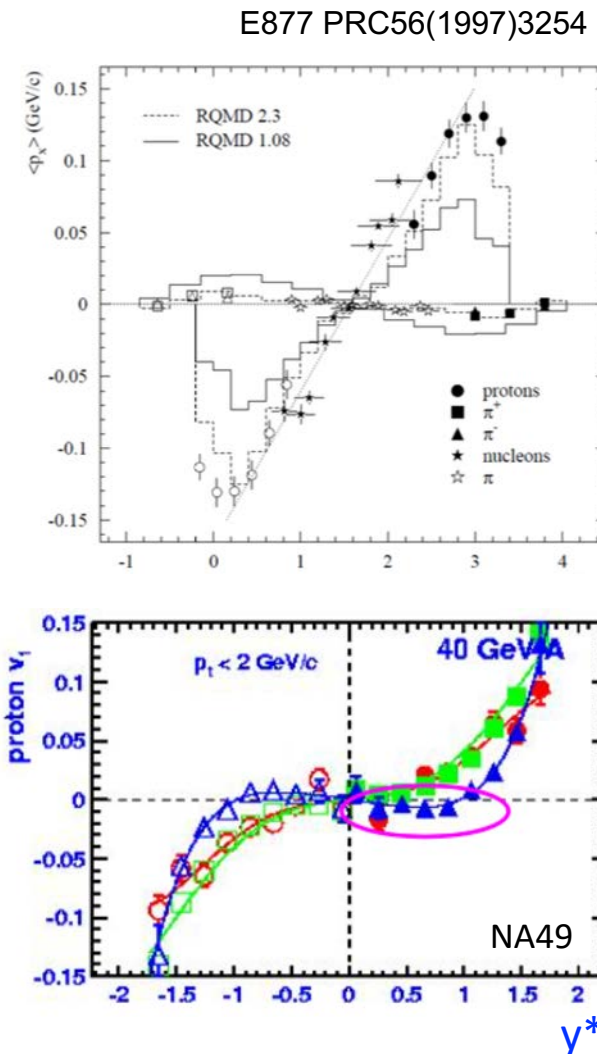
K/pi hornの検証



広いエネルギー領域にわたるバリオンStopping、ハドロン収量



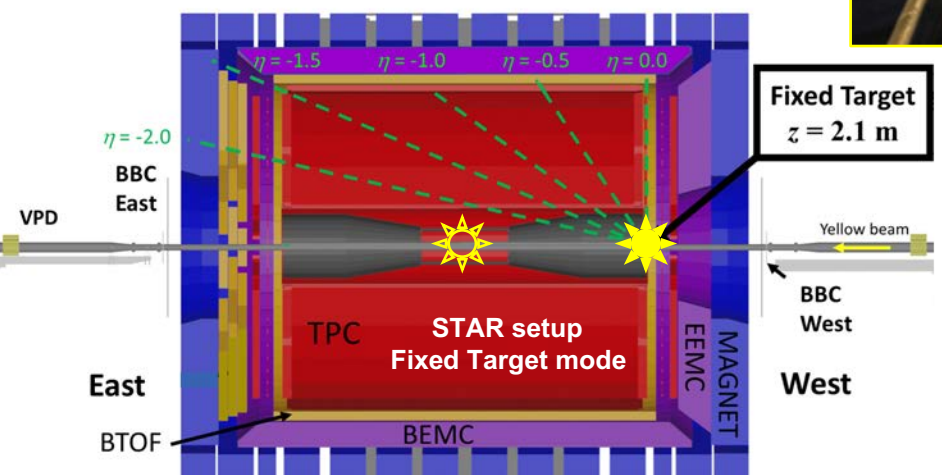
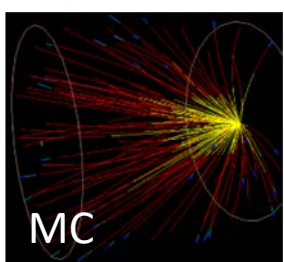
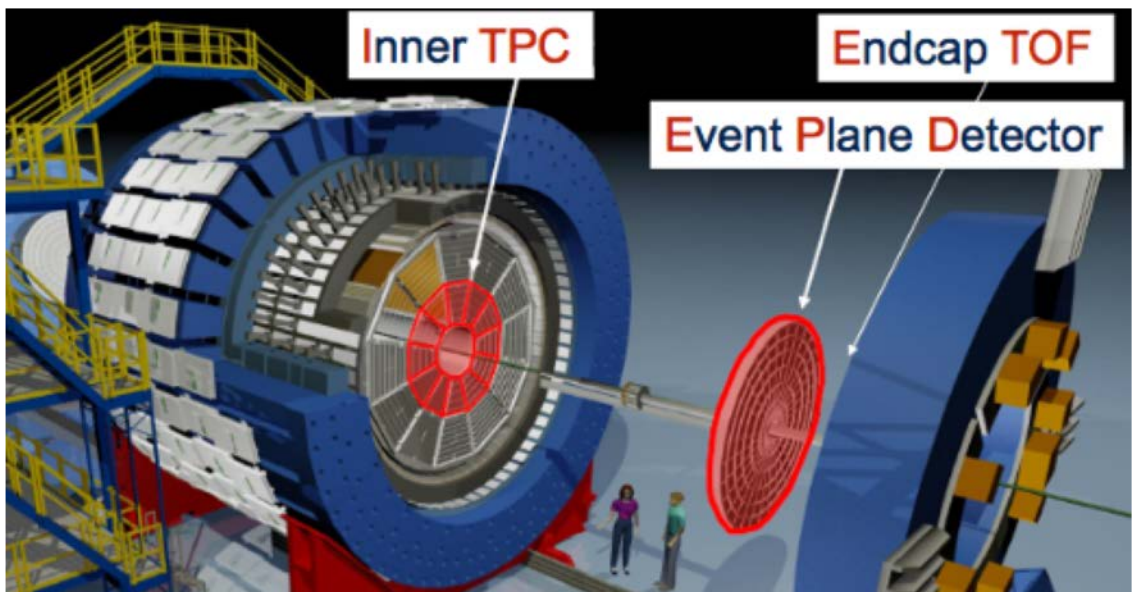
AGSエネルギー領域における 方位角異方的なフロー測定やHBT測定



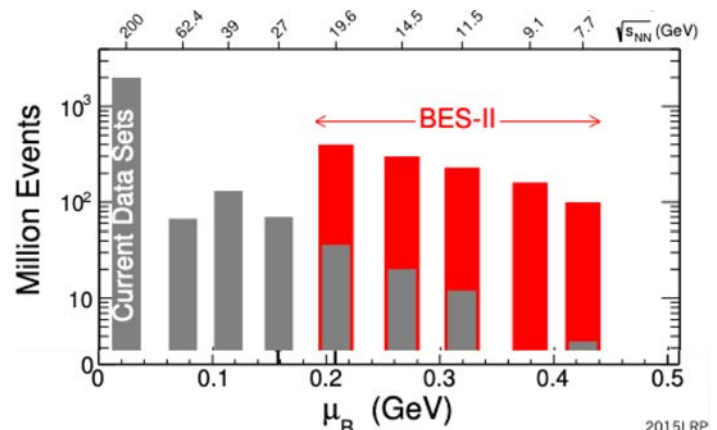
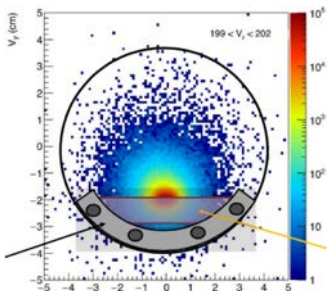
高統計のRHIC, LHCエネルギー領域データの
方位角異方性測定、粒子相関測定、揺らぎ測定
などに対する基準を与えるAGS, SPSエネルギー
領域のデータが不十分。

BNL-RHIC-BES1, BES2 (FXT)
GSI-FAIR-CBM, NICA, HIAF, J-PARC-Heavy-Ion

RHICビームエネルギー走査実験 (BES-I, BES-II, FXT)



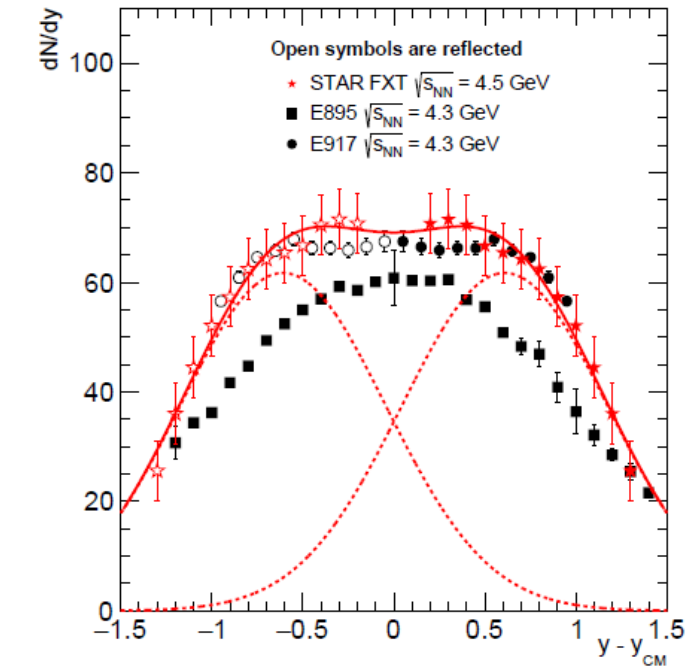
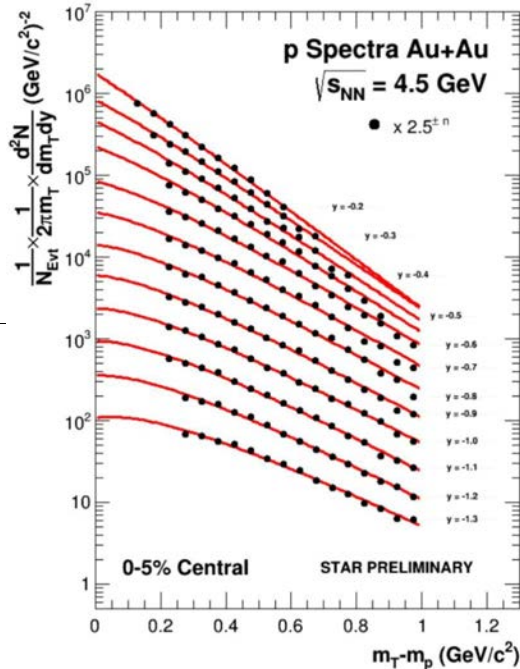
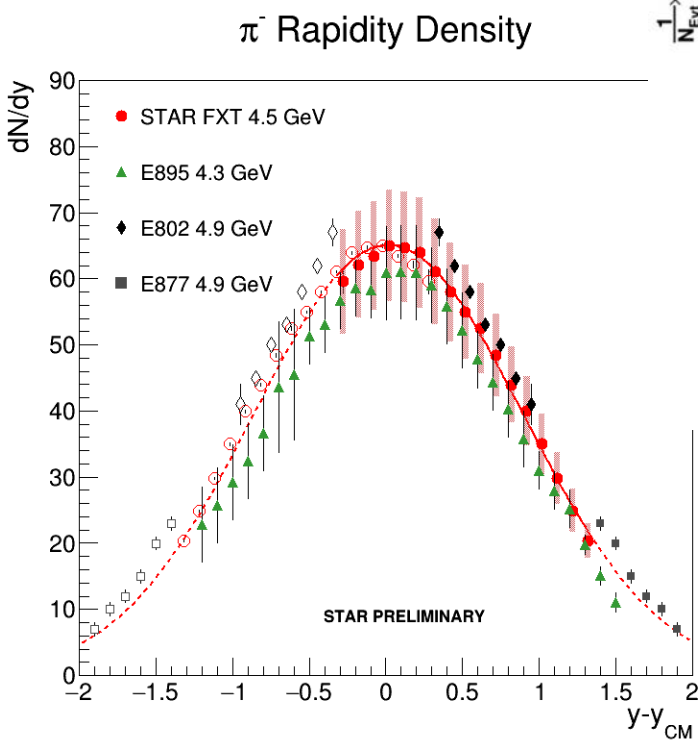
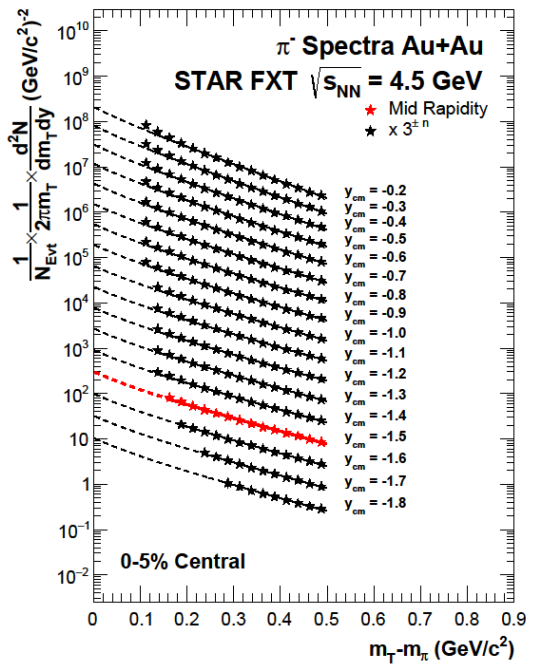
- Collider mode : down to 7.7 GeV
- Fixed target mode : down to 3 GeV



$\sqrt{s_{NN}}$ (GeV)	Beam Energy (GeV/nucleon)	Collider or Fixed Target	$\gamma_{\text{center of mass}}$	μ_B (MeV)	Run Time (days)	No. Events Collected (Request)	Date Collected
200	100	C	0	25	2.0	138 M (140 M)	Run-19
27	13.5	C	0	156	24	555 M (700 M)	Run-18
19.6	9.8	C	0	206	36	582 M (400 M)	Run-19
17.3	8.65	C	0	230	14	256 M (250 M)	Run-21
14.6	7.3	C	0	262	60	324 M (310 M)	Run-19
13.7	100	FXT	2.69	276	0.5	52 M (50 M)	Run-21
11.5	5.75	C	0	316	54	235 M (230 M)	Run-20
11.5	70	FXT	2.51	316	0.5	50 M (50 M)	Run-21
9.2	4.59	C	0	372	102	162 M (160 M)	Run-20+20b
9.2	44.5	FXT	2.28	372	0.5	50 M (50 M)	Run-21
7.7	3.85	C	0	420	90	100 M (100 M)	Run-21
7.7	31.2	FXT	2.10	420	0.5+1.0+scattered	50 M + 112 M + 100 M (100 M)	Run-19+20+21
7.2	26.5	FXT	2.02	443	2+Parasitic with CEC	155 M + 317 M	Run-18+20
6.2	19.5	FXT	1.87	487	1.4	118 M (100 M)	Run-20
5.2	13.5	FXT	1.68	541	1.0	103 M (100 M)	Run-20
4.5	9.8	FXT	1.52	589	0.9	108 M (100 M)	Run-20
3.9	7.3	FXT	1.37	633	1.1	117 M (100 M)	Run-20
3.5	5.75	FXT	1.25	666	0.9	116 M (100 M)	Run-20
3.2	4.59	FXT	1.13	699	2.0	200 M (200 M)	Run-19
3.0	3.85	FXT	1.05	721	4.6	259 M > 2B(100 M > 2B)	Run-18+21

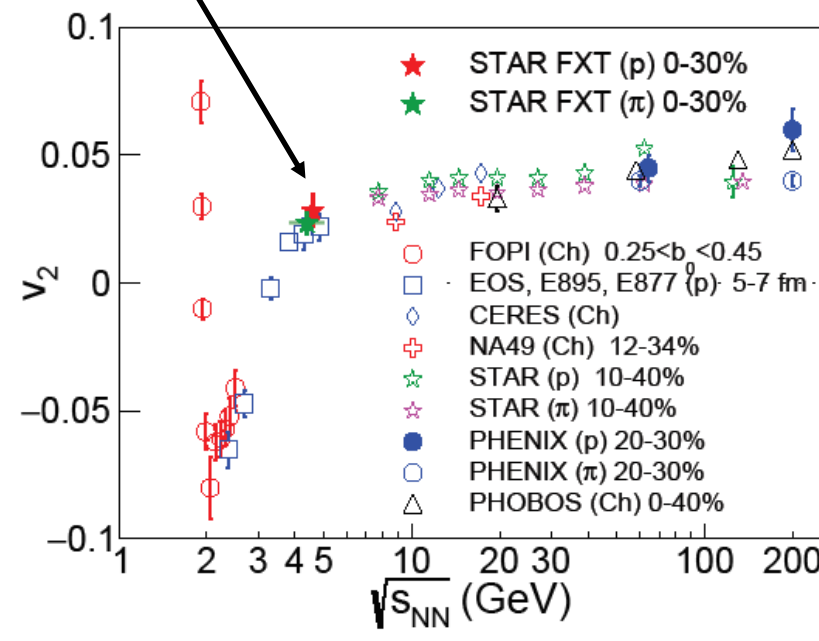
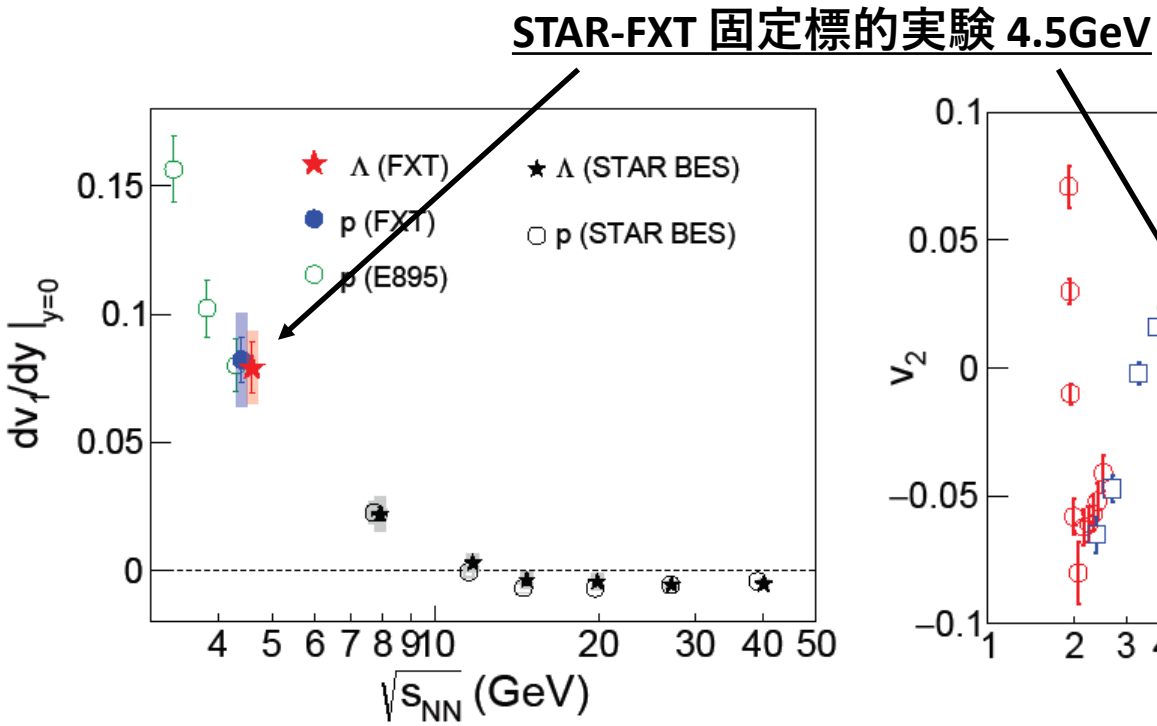
200GeV d+Au, 200GeV O+O during run21

STAR-FXT 固定標的実験 4.5GeV π中間子、陽子のpT, rapidity分布

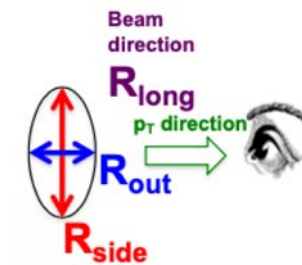


Rapidity loss 測定：
 $\delta y = y_{\{Gaussian\; Peak\}} - y_{\{Beam\}}$

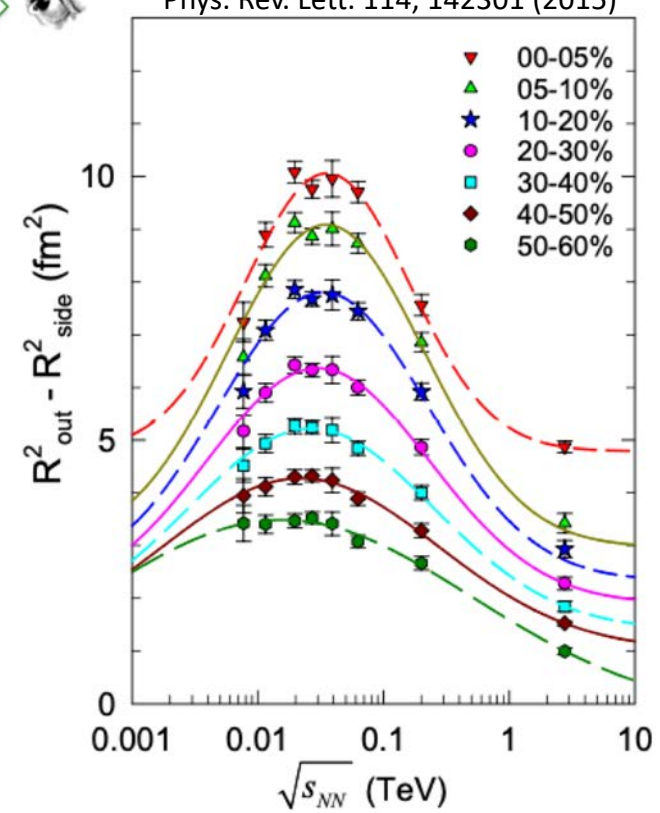
STAR-BES-I / FXT エネルギー走査実験 方位角異方的なフロー測定、HBT測定



more differential studies to come, including energy, centrality, rapidity, p_T dependences, and especially charge/flavor dependence to look for initial fields with v_1 more recently

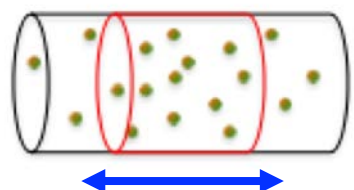


Phys. Rev. Lett. 114, 142301 (2015)

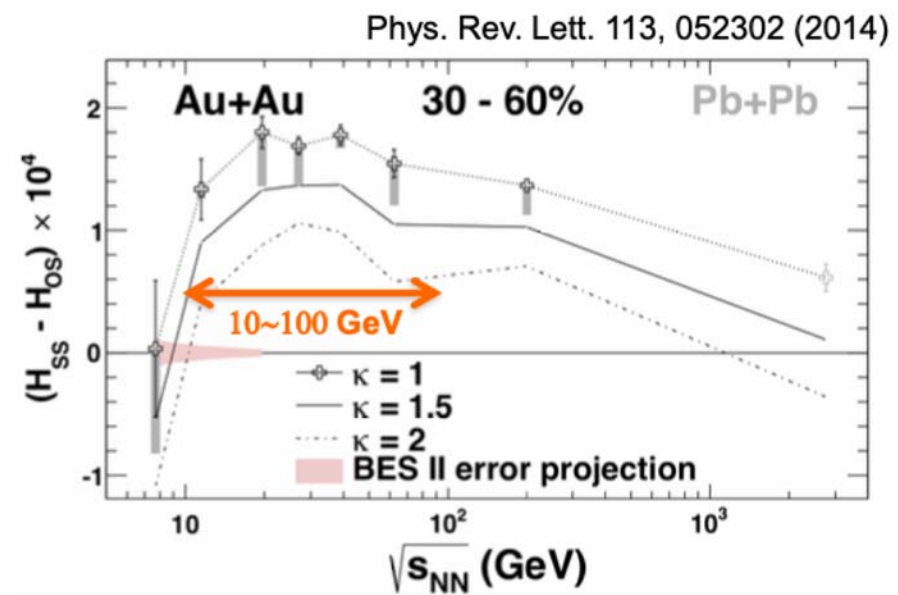
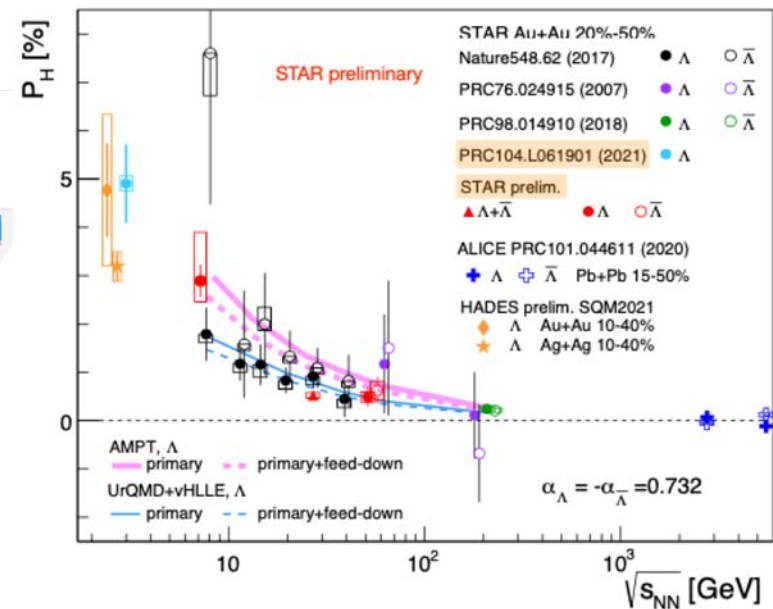
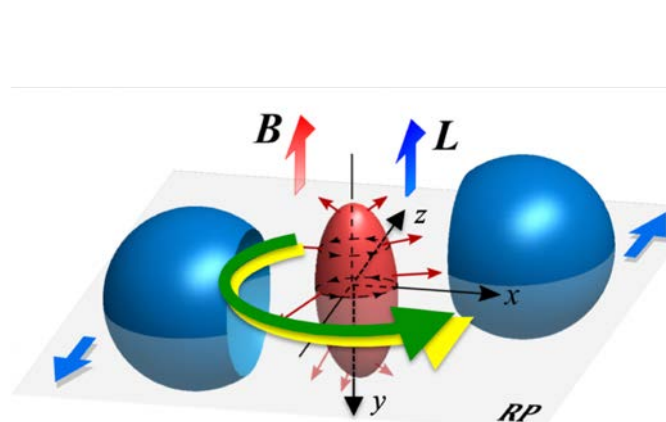
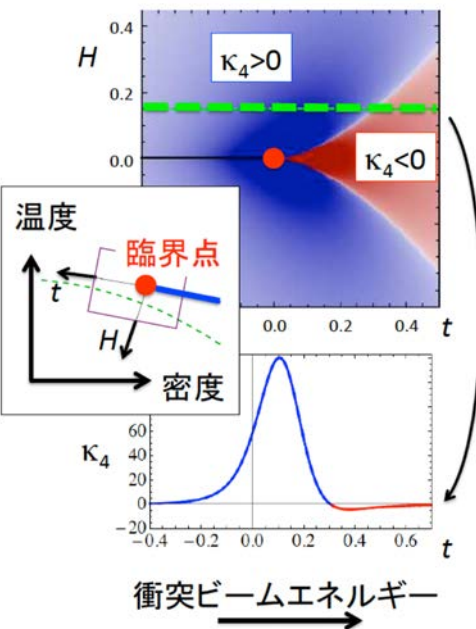
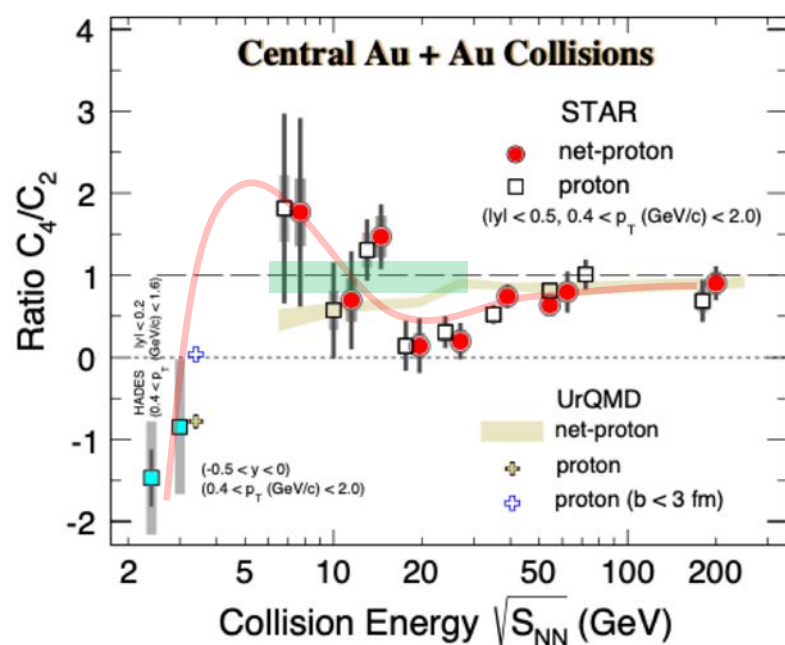


p_T , m_T , rapidity dep.
azimuthal Ψ_1 , Ψ_2 dep.
as a function of \sqrt{s}

STAR-BES-I / FXT エネルギー走査実験 保存量ゆらぎ測定、渦・CME測定



相転移や臨界点付近で
Beam軸(rapidity方向)の
相関長の変化



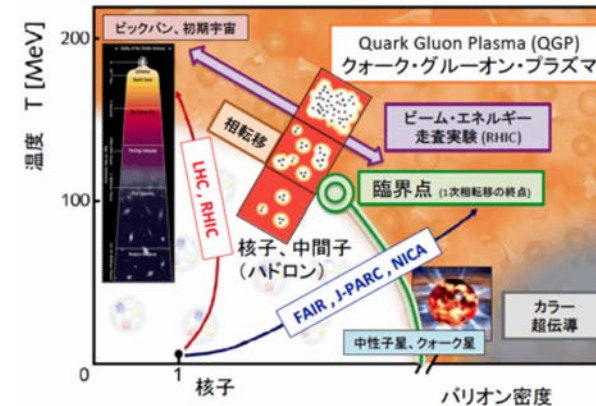
まとめと今後

AGS・SPS実験のおさらい、RHIC実験のまとめ
RHIC-BES実験の現状、次へのステップ

BNL-RHIC-BES1, BES2 (FXT)

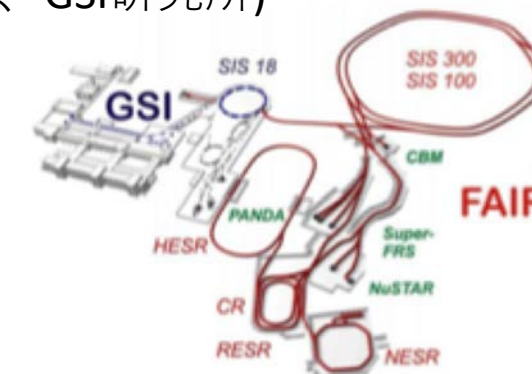
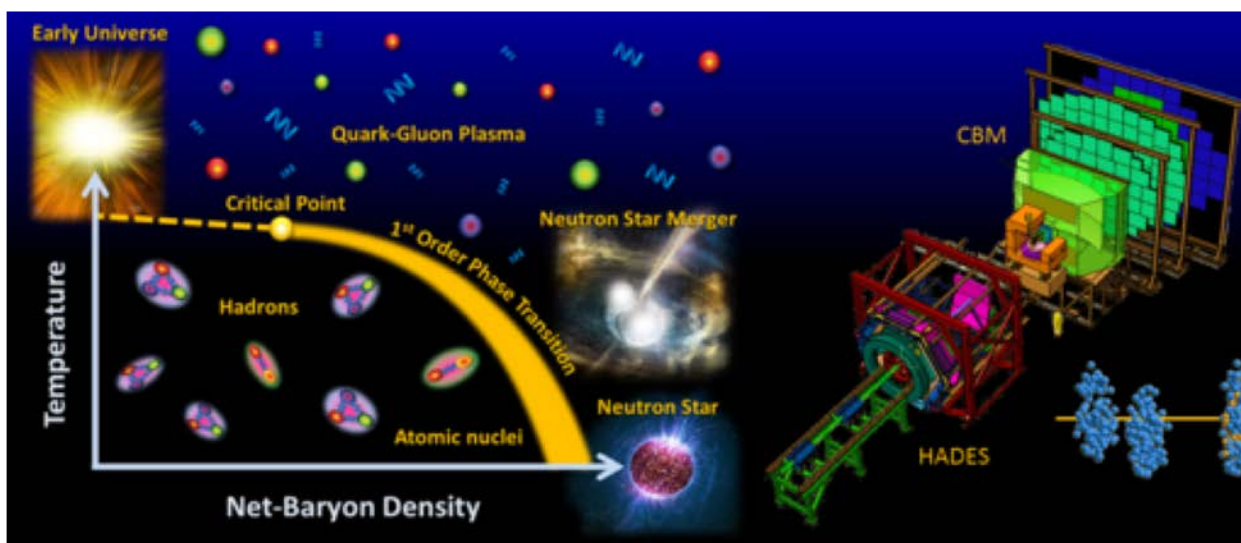
GSI-FAIR-CBM, NICA, HIAF

J-PARC-Heavy-Ion



NICA (ロシア)

FAIR-CBM実験 (ドイツ、GSI研究所)



HIAF (中国)

J-PARC (日本、茨城県東海村)

